









## Corso di Formazione

# Impiego dell'acciaio nelle strutture esistenti, retrofit sismico e problemi di durabilità



Mercoledì 29 Gennaio 2025



Villa Crawford - Via Nuovo Rione Cappuccini 2, S.Agnello (NA)

Vulnerabilità e Retrofit sismico con sistemi in carpenteria metallica di edifici

esistenti in muratura e in c.a.



Prof. Ing. Antonio Formisano









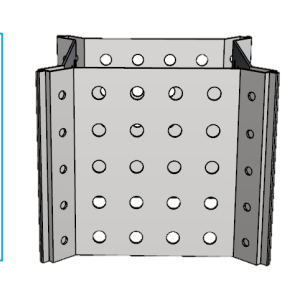




## **Indice**

- Introduzione
- Comportamento e vulnerabilità degli edifici in muratura in zona sismica
- Danneggiamento sismico e degrado delle strutture in c.a.
- Retrofit sismico: principali soluzioni
- Esempi applicativi
  - Caso 1: Rinforzo locale di colonne in c.a.
  - Caso 2: Intervento globale mediante esoscheletri leggeri metallici su un 5.2 edificio scolastico in c.a.
  - Caso 3: Intervento globale mediante un esoscheletro leggero in lega di 5.3 alluminio su un aggregato edilizio in muratura









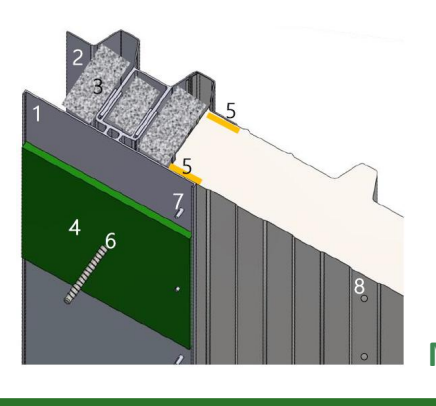




Resisto 5.9

**DuoSystem** 

Intervento globale



**MIL15.s** 

















## 5

## 1. Introduzione

## Le tipologie strutturali

Secondo il 15° Censimento ISTAT della popolazione e delle abitazioni (2011), le tipologie costruttive che caratterizzano il patrimonio edilizio esistente sono 3:

- Muratura portante;
- Calcestruzzo armato;
- Altri materiali (Acciaio, legno).

Fonte: ISTAT, 2011

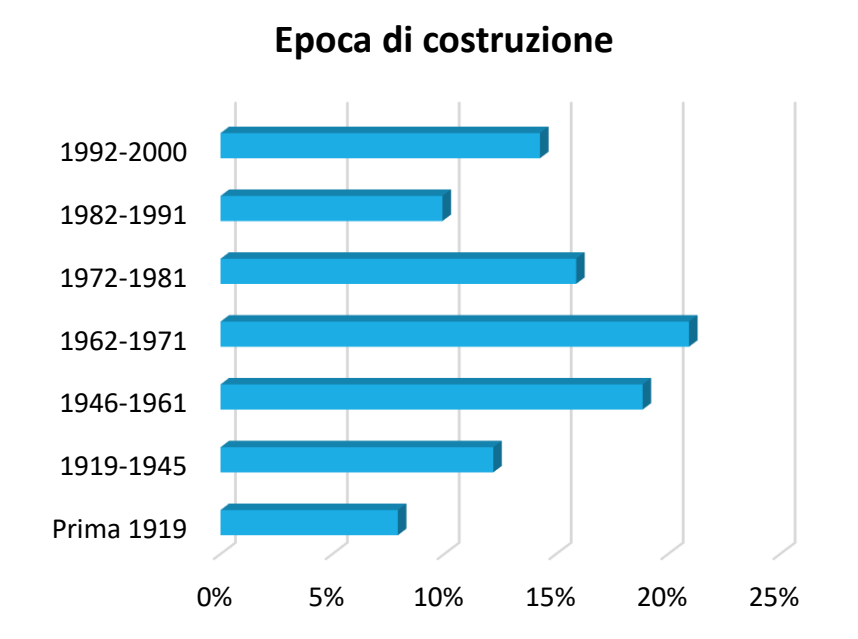
#### **Tipologie Edilizie**



### L'età del patrimonio edilizio esistente

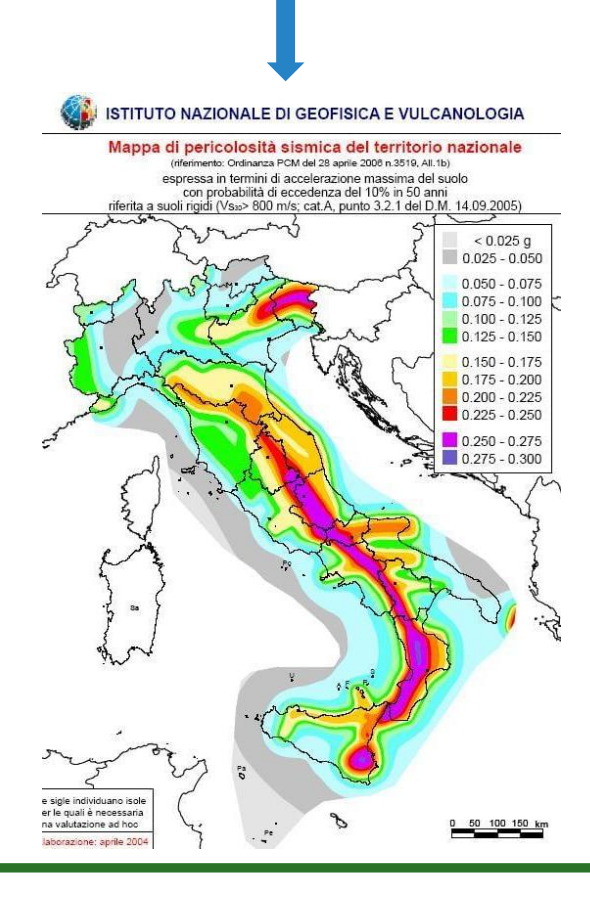
Gran parte degli edifici esistenti sia in muratura che in c.a. è stata realizzata prima degli anni '80 del XX secolo e dunque senza alcun criterio di progettazione antisismico.

Fonte: ISTAT, 2011



Per questo motivo, questi edifici non sono in grado di sopportare azioni sismiche ed oggi si trovano in condizioni di avanzato degrado.

Inoltre, una larga percentuale degli edifici esistenti si trova nelle zone a sismicità più elevata (Abruzzo, Marche e in generale l'intera dorsale appenninica).

















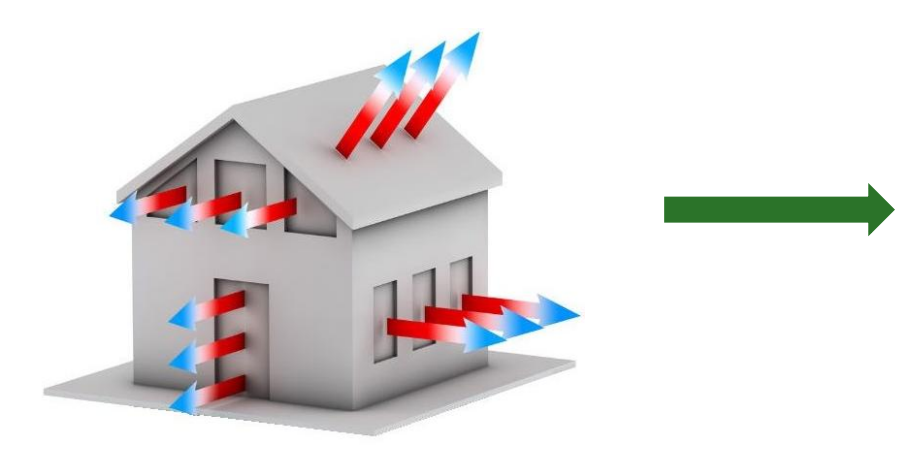


## 5

## 1. Introduzione

## Problemi di natura energetica

Oltre agli inevitabili danni dovuti all'assenza di una progettazione antisismica, tali strutture presentano anche problemi di **natura energetica**, presentando notevoli fenomeni di **dispersioni termiche**.



Strutture verticali: 25%

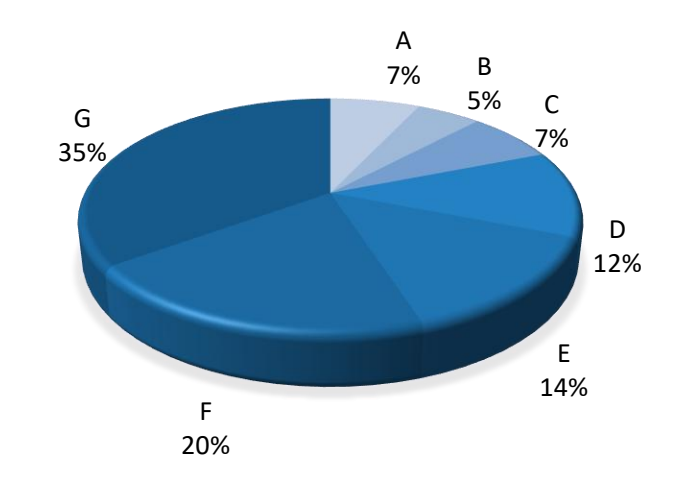
Infissi: 15%

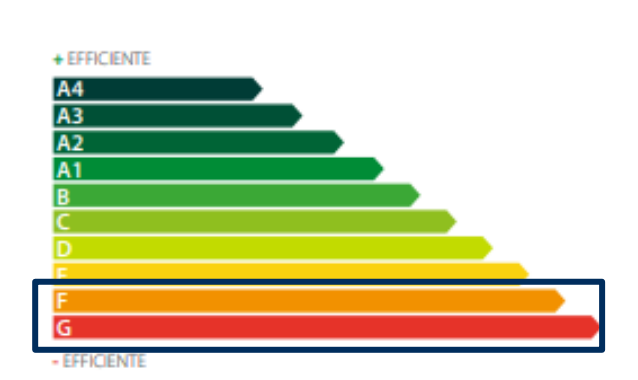
Copertura: 20%

• Solaio di primo calpestio: 7%

Oltre il 50% del patrimonio edilizio esistente, per via di tali dispersioni, rientra nelle <u>due classi energetiche più basse</u> (F e G).

Efficienza energetica del patrimonio edilizio italiano ENEA





È dunque necessario applicare una <u>strategia di intervento integrata</u> in grado di coniugare sia gli aspetti sismici, spesso trascurati, che quelli energetici al fine di **migliorare** il comportamento sismico ed energetico del patrimonio edilizio esistente.

















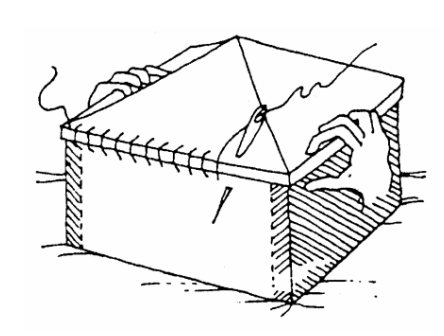


## 2. Comportamento e vulnerabilità degli edifici in muratura in zona sismica

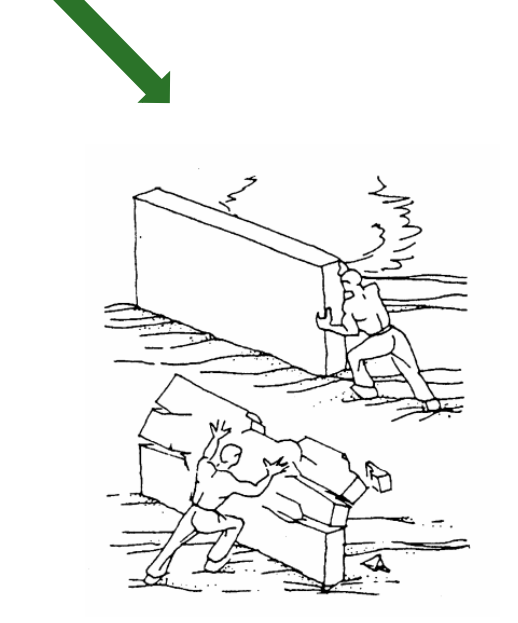
### Il comportamento di una struttura in muratura

Affinché una struttura in muratura possa resistere all'azione sismica, è necessario che sia stata concepita con un **COMPORTAMENTO SCATOLARE,** in modo da sollecitare le pareti nel proprio piano e da conferire opportuna stabilità e robustezza all'insieme.

Un edificio in muratura è quindi una struttura complessa in cui tutti gli elementi cooperano nel resistere ai carichi applicati.



La resistenza delle pareti a forze agenti nel loro piano è molto più grande rispetto alla resistenza alle forze ad essi ortogonali.



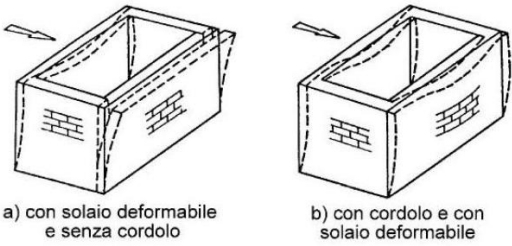
#### Come si ottiene il comportamento scatolare

#### 1. Ammorsamenti

Devono essere realizzati ammorsamenti non solo tra le pareti verticali adiacenti, ma anche tra paramenti murari e orizzontamenti, realizzando opportuni cordoli di piano.

In questo modo, si trasmettono i carichi verticali dai solai alle murature portanti.







#### 2. Solai di opportuna rigidezza

Il solaio infatti serve, in quanto diaframma orizzontale, a ripartire le forze sismiche sui vari pannelli murari.



















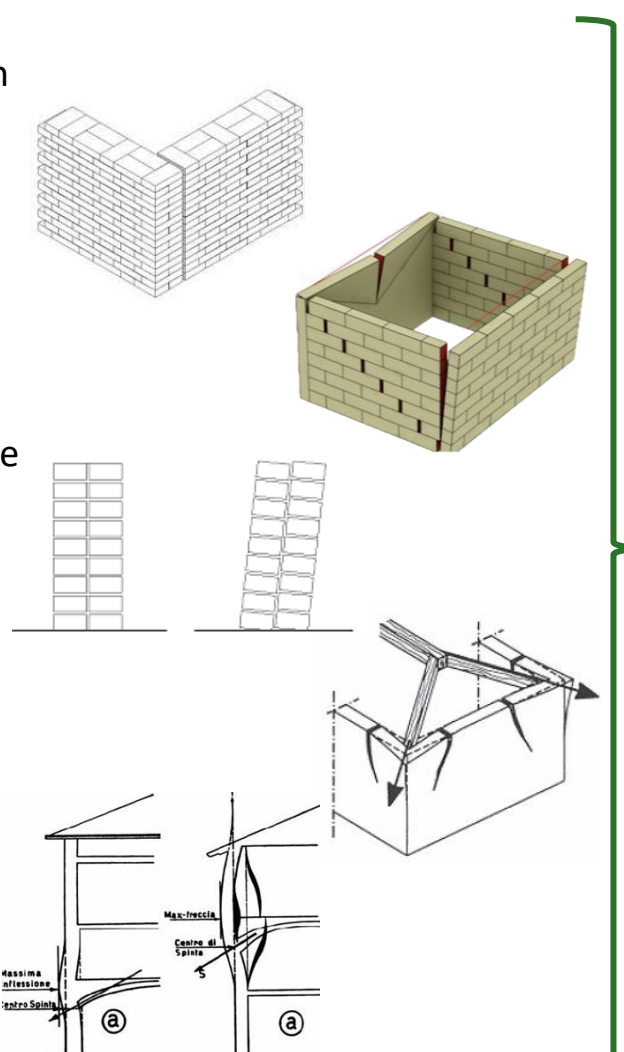


## **2.** Comportamento e vulnerabilità degli edifici in muratura in zona sismica

## La vulnerabilità degli edifici esistenti in muratura

Un'elevata vulnerabilità degli edifici in muratura esistenti può derivare da:

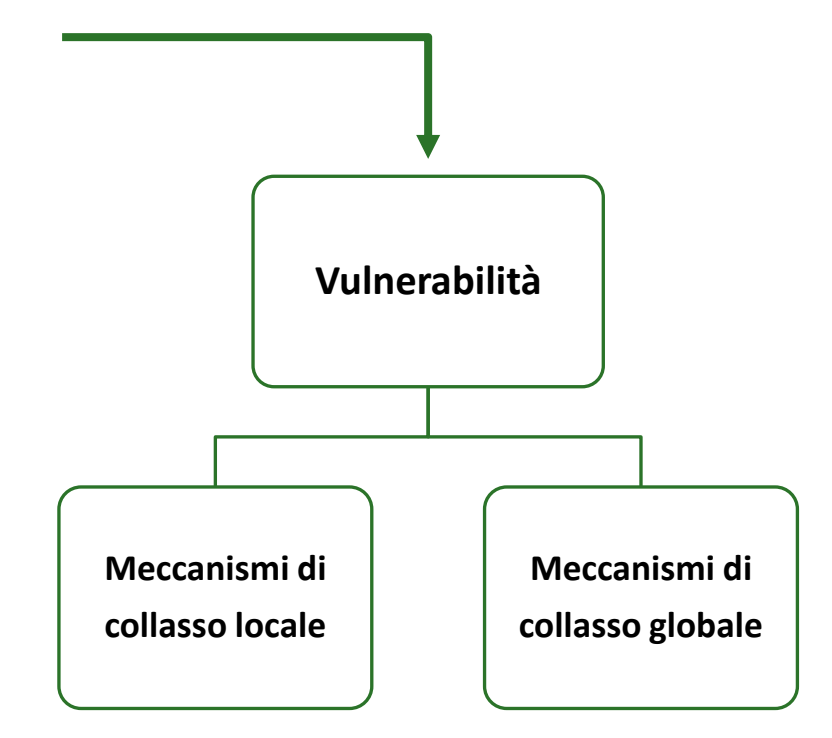
- Scarsa qualità muraria;
- Paramenti murari di elevato spessore non connessi;
- Scarsa attenzione alla realizzazione di dettagli costruttivi;
- Assenza di ammorsamenti;
- Pochi incatenamenti;
- Appoggi travi poco efficaci;
- Carichi elevati;
- Spinte di volte ed archi non contrastate;
- Coperture spingenti.



Assenza di comportamento scatolare



L'edificio non è in grado di comportarsi come un unico insieme di sistemi strutturali orizzontali e verticali, collegati tra loro, capaci di sopportare le sollecitazioni provenienti da eventi di vario tipo.















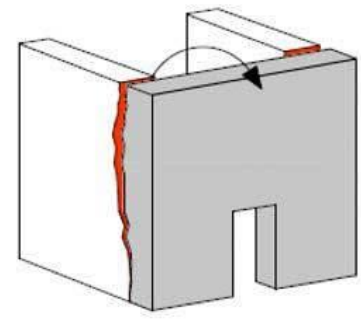






## 2. Comportamento e vulnerabilità degli edifici in muratura in zona sismica

#### Meccanismi locali



Meccanismi fuori piano - I modo

### I meccanismi di primo modo o meccanismi locali

corrispondono a cinematismi fuori piano di singole pareti o di porzioni di struttura. Si tratta di fenomeni di ribaltamento e flessione che portano a collasso la struttura per perdita di equilibrio.

Il quadro fessurativo può fornirci un'indicazione di quali meccanismi si possano attivare sulla struttura.





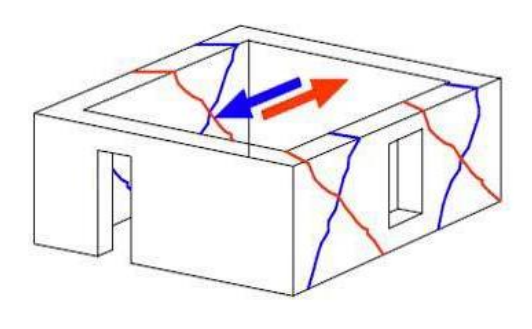








## Meccanismi globali



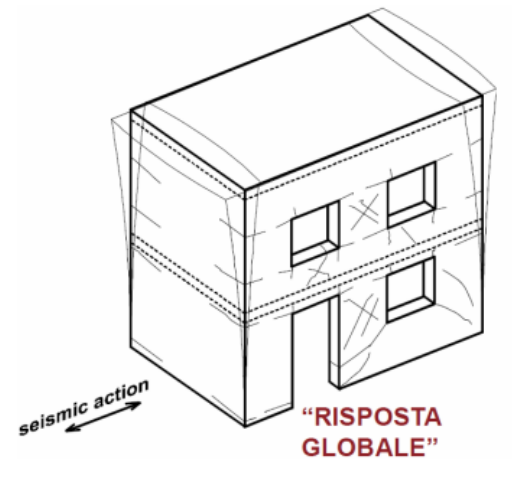
Meccanismi nel piano - Il modo

Il buon ammorsamento delle pareti e l'efficace vincolo tra pareti e orizzontamenti scongiurano fenomeni di ribaltamento e flessione fuori del piano.

Le pareti, collaborando tra loro, riescono ad attivare una risposta nel loro piano che meglio sfrutta le capacità di rigidezza e resistenza della muratura e garantiscono maggiore sicurezza.

I meccanismi di II modo riguardano la risposta della parete nel proprio piano, con tipici danneggiamenti per taglio e flessione. La rottura avviene per superamento della resistenza ultima del materiale.

Tali cinematismi si attivano in strutture in grado di sviluppare una risposta globale alla sollecitazione sismica ovvero quando sono impediti (o comunque resi poco probabili) i meccanismi di collasso locali fuori dal piano (presenza di catene, cordoli...).























3. Danneggiamento sismico e degrado delle strutture in c.a.

## Tipologie di collasso in zona sismica degli edifici in c.a.



#### **MECCANISMI LOCALI**

Interessano la struttura nel suo complesso e inficiano la resistenza di tutta la struttura, pur non coinvolgendo necessariamente tutti gli elementi.

- Meccanismi duttili = Trave debole Pilastro forte
- Meccanismi fragili = Trave forte Pilastro debole

### Principali cause

- Eccessive variazioni di rigidezza e resistenza in elevazione
- Irregolarità in pianta

**MECCANISMI GLOBALI** 

- Presenza di elementi strutturali rigidi eccentrici
- Assenza di telai nelle due direzioni principali

Dipendono dal singolo elemento e possono non inficiare il comportamento globale se interessano solo una piccola porzione strutturale

- Meccanismi duttili = tipicamente flessionali
- Meccanismi fragili = tipicamente a taglio

#### Principali cause

- Eccessivo interasse tra le staffe
- Ancoraggio insufficiente delle barre longitudinali o delle staffe
- Presenza di barre di armatura lisce
- Calcestruzzi scadenti
- Assenza o insufficienza di armatura trasversale nel nodo



















## 3. Danneggiamento sismico e degrado delle strutture in c.a.

## Danneggiamento delle membrature in c.a.

#### **PILASTRI**

#### **Compressione**



- Eccessivo sforzo assiale.
- Si manifesta inizialmente con lesioni verticali e poi con lo spanciamento del pilastro per la rottura del calcestruzzo.

#### Pressoflessione



- Basso grado di confinamento.
- Instabilizzazione delle barre in compressione.
- Sfilamento delle barre in trazione.
- Schiacciamento del calcestruzzo compresso non confinato.

#### **Taglio**





È il meccanismo più diffuso negli elementi tozzi.

- Staffatura esigua.
- Si manifesta con le classiche lesioni a X.

#### **Flessione**

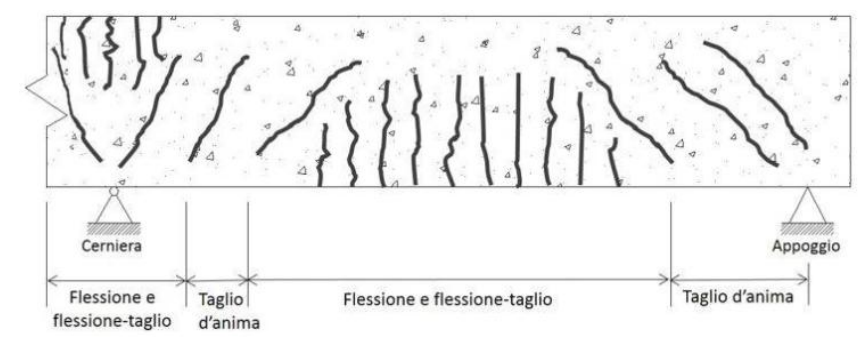


- Carenza di armatura in zona tesa.
- · Collasso duttile.
- Lesioni ortogonali alla linea d'asse in corrispondenza delle zone tese della trave.

## TRAVI



- · Carenza di armatura trasversale.
- · Collasso fragile.
- Lesioni a 45° rispetto all'asse longitudinale in corrispondenza delle sezioni di appoggio.



















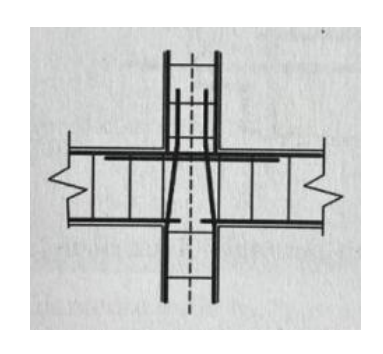
5

3. Danneggiamento sismico e degrado delle strutture in c.a.

## Danneggiamento delle membrature in c.a.

#### **NODI**

## Interruzione armature longitudinali inferiori delle travi



- Inversione del momento flettente sulla trave in corrispondenza dei nodi determinato dalle azioni orizzontali del sisma;
- Momento positivo può mettere in crisi la scarsa aderenza tra armatura e cls nel nodo data dalla lunghezza minima di ancoraggio;
- Sfilamento dell'armatura inferiore della trave (pull-out).

## Assenza o insufficienza di staffe



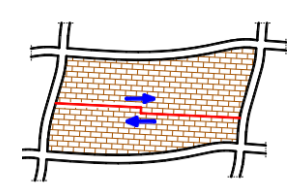
Rottura fragile del nodo ortogonalmente alle isostatiche di trazione.

Instabilizzazione delle barre longitudinali in assenza di elementi che limitino la lunghezza libera di inflessione.

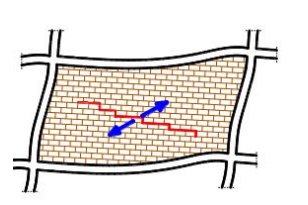


#### **TAMPONATURE**

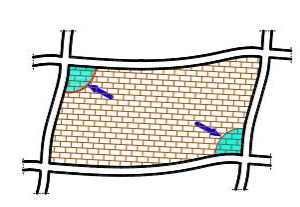
#### Nel piano



Scorrimento orizzontale nella zona centrale della tamponatura dovuto alle tensioni tangenziali.



Trazione diagonale nella zona centrale della tamponatura.

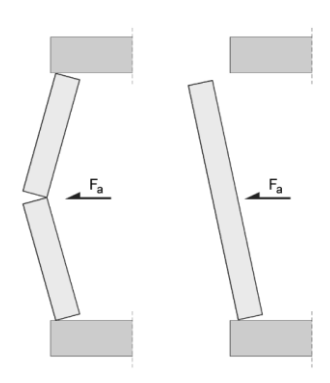


Schiacciamento in prossimità degli spigoli dove è applicata direttamente la pressione di contatto.

Instabilità del puntone compresso al quale può essere assimilato il pannello caricato da forza orizzontale

#### **Fuori piano**

- Flessione verticale
- Ribaltamento



#### Cause:

- Paramenti non connessi trasversalmente
- Scarsa qualità della tessitura
- Degrado o modifiche localizzate
- Assenza di collegamento alla struttura principale in c.a.

















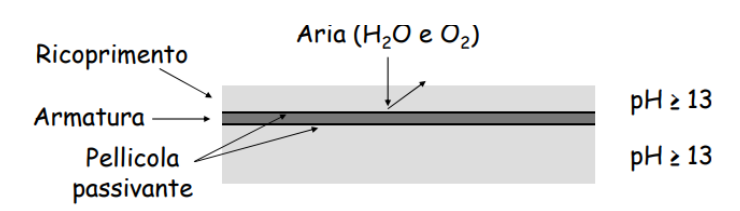


5

3. Danneggiamento sismico e degrado delle strutture in c.a.

### Durabilità degli elementi strutturali in c.a.

Le armature presenti negli elementi di calcestruzzo sono caratterizzate da condizioni di passività, in cui l'acciaio è ricoperto da un <u>film protettivo</u>, che si sviluppa nelle fasi iniziali di idratazione del cemento.



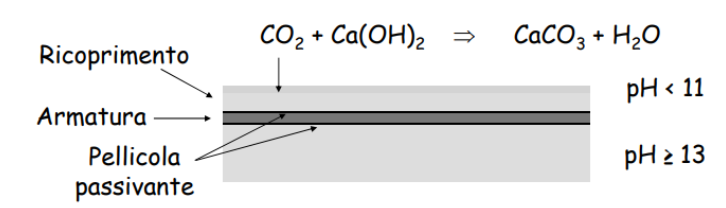
#### **Corrosione delle armature**

La pellicola passivante impedisce il contatto tra aria umida e armature e quindi <u>impedisce la corrosione</u>.

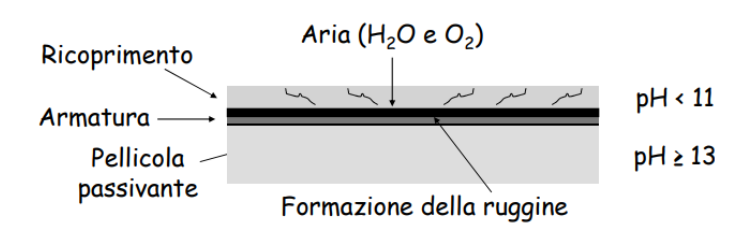
La **perdita di protezione** può avvenire per <u>3</u> motivi

#### **CARBONATAZIONE**

• L'anidride carbonica dell'aria reagisce con la calce riducendo il pH del calcestruzzo.



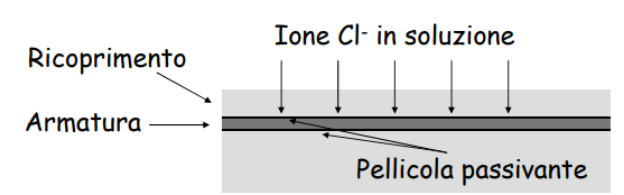
• Il fenomeno dissolve l'intero film protettivo innescando la corrosione.



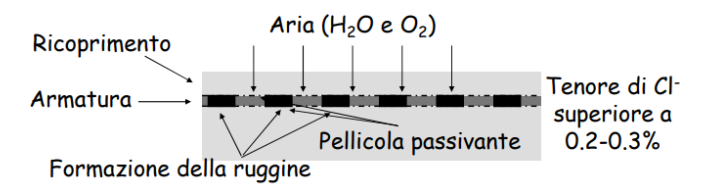
La velocità del fenomeno dipende dal rapporto A/C e dallo spessore del ricoprimento.

#### **CLORURI**

• L'acqua penetra nel cls portando lo ione cloruro Cl- .



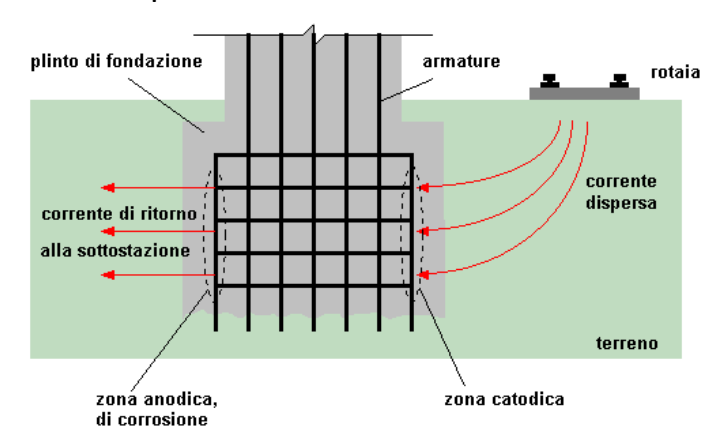
Fenomeno localizzato inizia a dissolvere il film protettivo quando il tenore di cloruri supera lo 0.2-0.3%.



La velocità del fenomeno dipende dal rapporto A/C, dallo spessore del ricoprimento, dalla compattazione del cls e dal tipo di cemento.

#### **CORRENTI ELETTRICHE**

L'interferenza elettrica provoca la corrosione delle armature nelle zone, dette *anodiche*, in cui la corrente dispersa fluisce dalle armature verso il cls.



Sono esposti al fenomeno le strutture situate in prossimità di linee di trazione elettrificate o di impianti di protezione catodica come le gallerie, i ponti o i viadotti ferroviari.



















## 4. Retrofit sismico: principali soluzioni

## Le tipologie di intervento anti-sismico

Per gli edifici esistenti è possibile distinguere 3 tipologie di interventi:

- Interventi finalizzati al ripristino della sicurezza (locali)
- ☐ Interventi volti all'aumento della sicurezza (miglioramento)
- ☐ Interventi deputati a rendere l'edificio analogo ad un edificio nuovo (adeguamento)

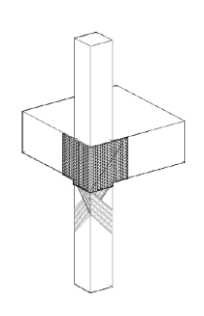
#### Sistemi di retrofit strutturale

#### Interventi locali:

- Incamiciatura in c.a. o in acciaio (Calastrellature)
- o Rinforzi con sistemi FRP (Fibro-rinforzati a matrice polimerica)
- Rinforzi con malte fibro-rinforzate (FRCM)
- Metodo CAM (Cucitura Attiva dei Manufatti)

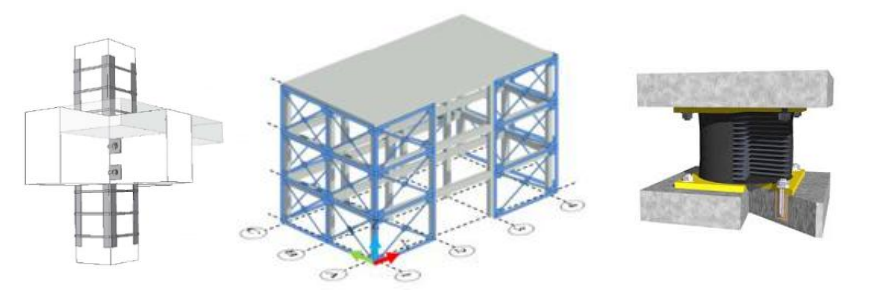






## Interventi globali:

- Riduzione delle irregolarità dell'edificio
- o Introduzioni di nuovi elementi strutturali che aumentano la capacità
- o Introduzioni di nuovi elementi strutturali che riducono la domanda





















## 4. Retrofit sismico: principali soluzioni

## Le principali soluzioni di retrofit

## Sistemi di retrofit energetico

- Isolamento termico delle superfici opache
- Sostituzione infissi
- o Installazione di sistemi di schermatura solare
- o Sostituzione impianti di riscaldamento/raffrescamento
- Passaggio a fonti energetiche rinnovabili

## Sistemi di retrofit integrato

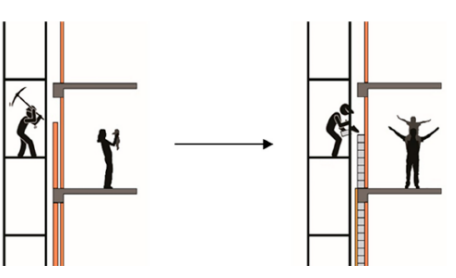
#### Obiettivo: Riduzione del rischio sismico e incremento dell'efficienza energetica

- o Cappotto sismico con lastre in c.a. e pannelli termoisolanti
- o Cappotto sismico con malte fibrorinforzate e pannelli termoisolanti
- Cappotto sismico con telai metallici modulari
- Blocchi in calcestruzzo aerato autoclavato (A.A.C. Autoclaved Aerated Concrete)
- Pannelli in legno lamellare a strati incrociati (C.L.T. Cross Laminated Timber)
- o Esoscheletri in c.a. o in acciaio con sistemi di coibentazione termica
- Facciate ventilate con controventi dissipativi

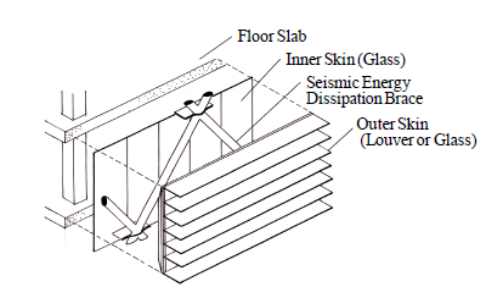


































## 5. Esempi applicativi

Caso 1: Rinforzo locale

Caso 2: Rinforzo globale – Ed. in c.a.

Caso 3: Rinforzo globale – Ed. in muratura

## **Caso studio:**

Edificio residenziale in c.a. a Pozzuoli (NA)



## **Caso studio:**

Edificio scolastico in c.a. a Somma Vesuviana (NA)

## **Soluzione:**

Confronto tra tre sistemi integrati di retrofit sismico – energetico

## **Caso studio:**

Edificio residenziale in configurazione aggregata a Castelpoto (BN)

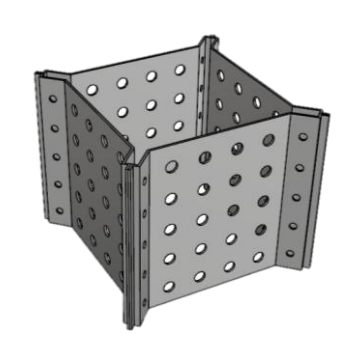
## **Soluzione:**

Sistema integrato sismico – energetico MIL15s

## **Soluzione:**

Lamiere forate in acciaio







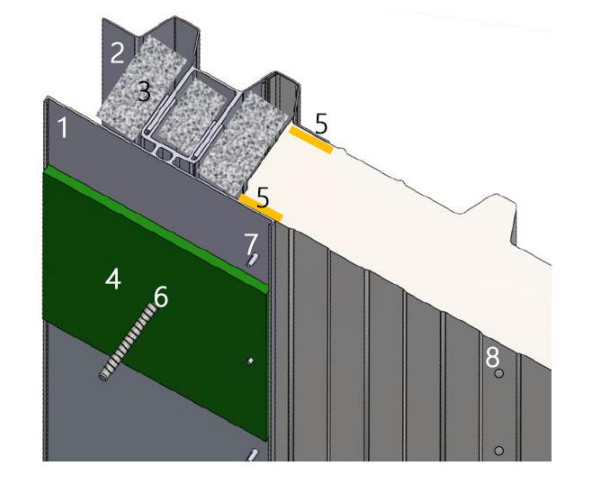




**Duo System** 



**MIL15** 















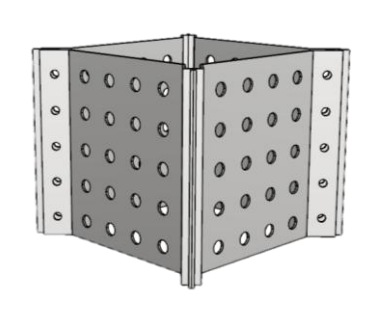






## **Lamiere Forate in acciaio**







#### Proprietà:

- Lamiere in acciaio forate posizionate sulle quattro facce del pilastro e bullonate tra loro.
- Presenza dei fori:
  - ➢ Ridurre il peso della lamiera → Minor materiale impiegato → Risparmio economico.
- Lamiere con un'opportuna piegatura terminale a forma di Z per tutta l'altezza del pilastro→ Presso-piegatura.
- Sistema di serraggio in cantiere:
  - ➤ Bullonatura alle estremità angolari delle piastre → Bulloni di classe
     8.8.

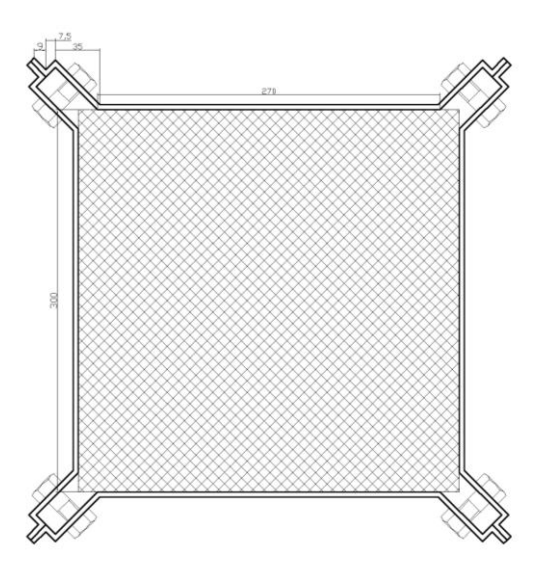
## Vantaggi

#### Prestazioni:

- Azione di confinamento per aumentare duttilità e resistenza della sezione;
- Incremento della resistenza al taglio e a compressione del calcestruzzo;
- Azione di contrasto per evitare la possibile instabilità delle armature compresse;

#### Risparmio economico:

- Leggerezza;
- Prefabbricazione;
- Minor tempo di installazione in cantiere;
- Collegamenti bullonati in luogo di quelli saldati;
- Non è necessaria una manodopera specializzata.























## **Lamiere Forate in acciaio**

Analisi teorica (NTC 2018)

#### Formule di letteratura (NTC 2018)

Resistenza a taglio aggiuntiva Vj

ightharpoonup Resistenza del calcestruzzo confinato  $f_{cc}$ 

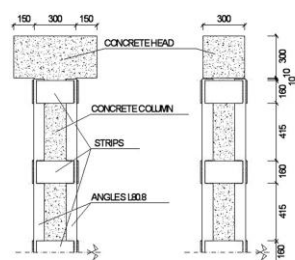
ightharpoonup Deformazione ultima del calcestruzzo confinato  $arepsilon_{cu}$ 

$$V_j = 0.5 * \frac{2t_jb}{s} * f_{yk} * d$$

$$f_{cc} = f_c \left[ 1 + 3.7 \left( \frac{0.5 \alpha_n \alpha_s \rho_s f_y}{f_c} \right)^{0.86} \right]$$

$$\varepsilon_{cu} = 0.004 + 0.5 * \frac{0.5\alpha_n\alpha_s\rho_sf_y}{f_{cc}}$$

Campagna sperimentale (ADAM ET AL., 2007): Colonna: 30x30x250 cm - Armatura: 4Φ12 longitudinali e staffe Φ6/20" - Calastrelli 270x160x8 mm (passo 415 mm) – Angolari 80x80x8 mm



BR O						Calastrell	i					Angolari				
BE .	acciaio	fyk	b bande	h bande	S	i'	i	n bande	n bande eff	Ares	La	На	sa	Vj	fcc	<b>E</b> cu
419	-	Мра	cm	cm	cm	cm	cm	-	-	cmq	cm	cm	cm	kN	Мра	cm
3	S210	210	27	16	0,8	41,5	57,5	5,07	5,00	128	8	250	0,8	126,2	13,7	0,02



#### Analisi teorica di una lamiera forata con la stessa area resistente

ш	1 1					1 11	ı
	0	0	0	0	0	0	l
	0	0	0	0	0	0	١
	0	0	0	0	0	0	l
	0	0000000	0	0	0	0	l
	0	0	0	0	0	0	١
	0	0	0	0	0	0	١
	0	0	0	0	0	0	١
111	1 1					ı II	

Lamiera														
acciaio	fyk	b	bres	h	S	i' fasce (2r fori)	i fasce	h fascia	n fasce	n fasce eff	Ares	Vj	fcc	<b>E</b> cu
-	Мра	cm	cm	cm	cm	cm	cm	cm	-	-	cmq	kN	Мра	cm
S210	210	27	27	250	0,4	2,35	6,35	4	40,0	39,00	128	142,9	16,1	0,04

$$d = 23 \text{ mm}$$
  $h_{banda} = 40 \text{ mm}$   
 $s = 4 \text{ mm}$   $I_{bande} = 270 \text{ mm}$ 





















## **Lamiere Forate in acciaio**

## Step 1: Parti

Caratteristiche geometriche elementi modellati:

Elemento Staffa				
$\mathbf{H}_{\mathrm{st}}$	24 cm			
$\mathbf{L}_{st}$	24 cm			
$\Phi_{st}$	6 mm			

Elemento Barra

**Elemento Colonna** 

Elemento Lamiera

246 cm

12 mm

250 cm

30 cm

30 cm

250 cm

27 cm

0,4 cm

 $\mathbf{H}_{\mathbf{v}}$ 

 $\Phi_{\mathbf{v}}$ 

H

B

H

Bc

 $\mathbf{S}$ 

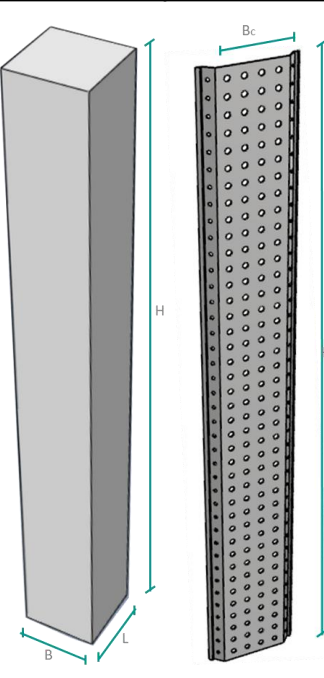
Elemento	Abaqus
Staffa	Beam
Barra	Beam
Colonna	Solid
Lamiera	Shell

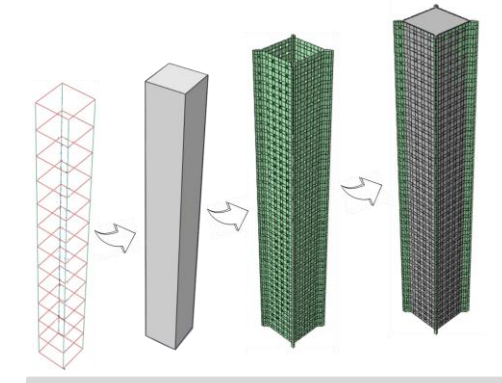
## Step 2: Proprietà

#### Materiali:

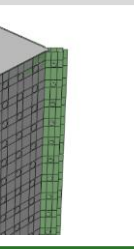
- Acciaio Lamiera: S210
- Acciaio Armatura: B450C
- Calcestruzzo: fc=10,6MPa

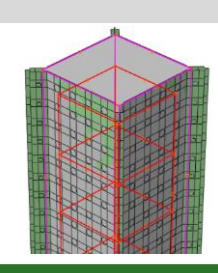
## Step 3: Assembly





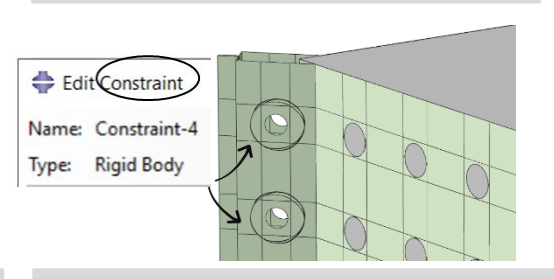
Step 4: Interazione





## Analisi agli elementi finiti: Il Modello FEM – Abaqus (CAE)

Step 5: Interazione

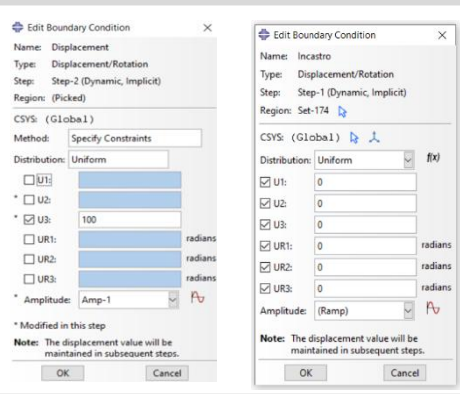


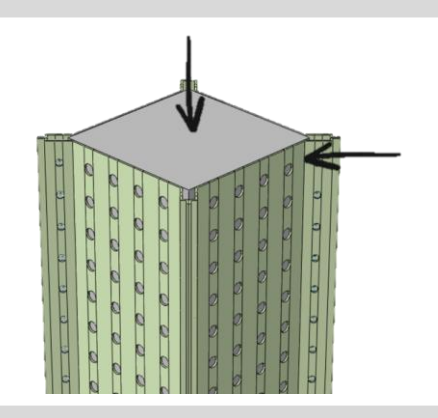
Step 7: Mesh



35 SIMULIA

## Step 6: Carichi





Acciaio-Calcestruzzo (Surface to Surface)							
	Friction formulation	Penalty					
Comp. Tangenziale	Friction Coeff	0.2					
Comp. Normale	Pressure - Overclosure	Hard Contact					















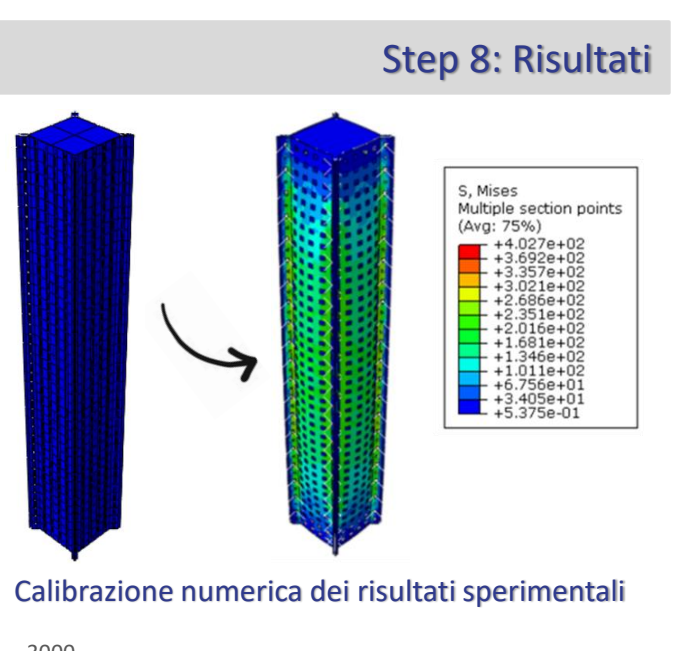






**5.1** Caso 1: Rinforzo locale di colonne in c.a.

## **Lamiere Forate in acciaio**



3000
2500
2500
Angolari e
Calastre

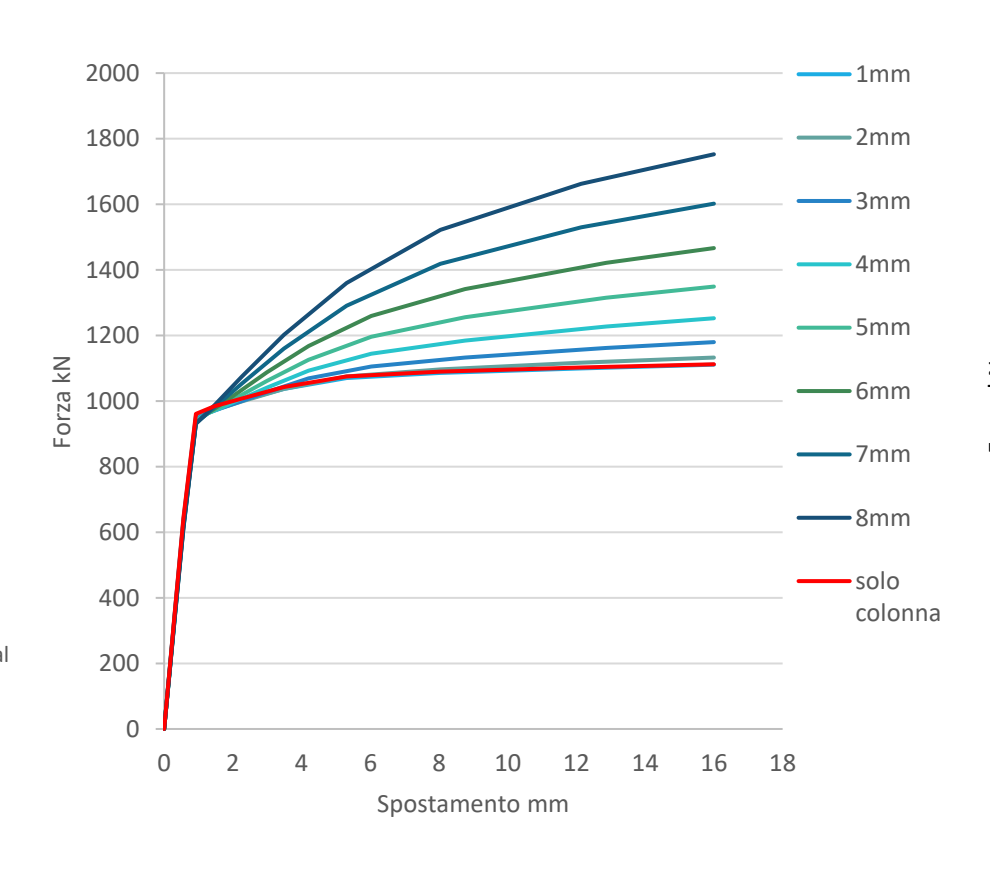
2000
1500

Experimental

1000
500
0 2 4 6 8 10 12 14 16 18

Spostamento mm

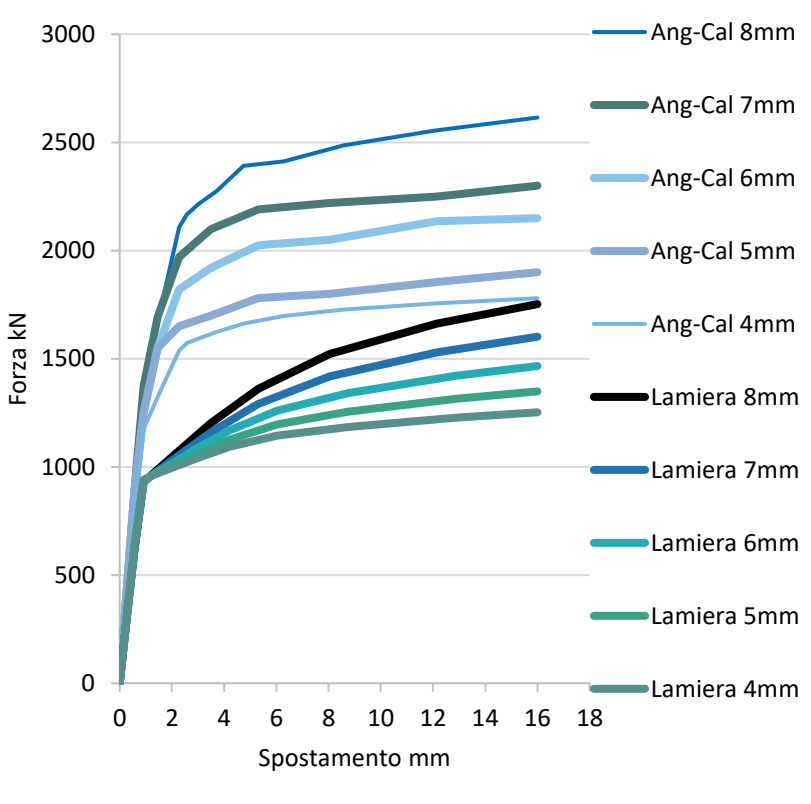
Analisi parametrica: variazione dello spessore della lamiera



Confronto lamiera forata – angolari e calastrelli

per carichi verticali

Analisi agli elementi finiti: Analisi parametrica – Risultati





















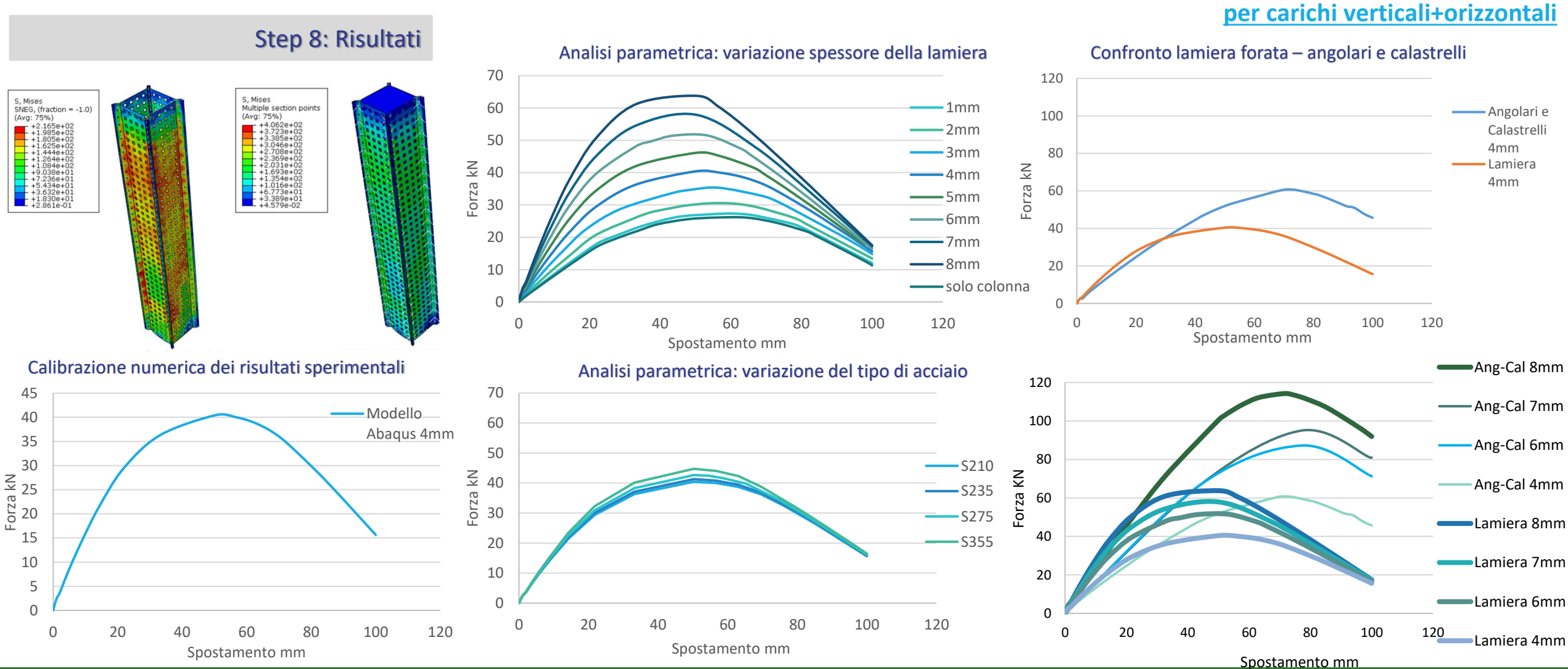


**5.1** Caso 1: Rinforzo locale di colonne in c.a.



Analisi agli elementi finiti: <u>Analisi parametrica – Risultati</u>

per carichi verticali+orizzontali























## **Lamiere Forate in acciaio**

Analisi agli elementi finiti: Verifica dei collegamenti

#### Caratteristiche:

Lamiera								
B [mm]	H [mm]	sp [mm]	d [mm]					
49,34	2500	4	14					

Bulloni 8.8 M14								
d [mm]	fyb [Mpa]	ftb [Mpa]	As [mm^2]					
14	640	800	115					

Acciaio				
Fyk [Mpa]	Ftk [Mpa]			
210	360			

parametri input

#### Parametri variabili:

- Spessore lamiera: 1, 2, 3, 4, 5, 6, 7, 8

- Tipo di acciaio: S210, S235, S275, S355

### ➤ Verifica a taglio del bullone

$$F_{v,Rd} \le F_{v,Rd}$$

$$F_{v,Rd} = \frac{\alpha_v \cdot f_{tb} \cdot A_{res}}{\gamma_{M2}}$$

	Verifica a to	aglio bulloni			Verifica
Fv,Ed [kN]	Fv,Rd [kN]	FvEd/FvRd	Verifica	$\rightarrow$	soddisfatta per tutti i modelli
8,0	67,1	0,12	VERO		tutti illouelli

#### > Verifica a rifollamento della piastra

$$\frac{F_{v,Ed}}{F_{b,Rd}} < 1$$

$$F_{b,Rd} = \frac{k \cdot \alpha \cdot f_{tk} \cdot d \cdot t}{\gamma_{M2}}$$

	Verifica a rifolla	ımento lamiera		
Fb,Ed [kN]	Fb,Rd [Mpa]	Fb,Ed/Fb,Rd	Verifica	
8,0	36,736	0,22	VERO	

#### > Verifica a trazione della sezione netta

$$\frac{F_{net,Ed}}{F_{net,Rd}} < 1$$

$$F_{net,Rd} = \frac{k \cdot f_{tk} \cdot A_{net}}{\gamma_{M2}}$$

	Verifica a trazi	ione della sezione nett	ta	
Fnet,Ed [kN]	Fnet, Rd [kN]	Fnet,Ed/Fnet,Rd	Verifica	
20	35,56	0,56	VERO	

Verifica

soddisfatta per tutti i modelli

tranne che lamiera da 1mm





















## **Lamiere Forate in acciaio**

## Localizzazione e inquadramento

Classificazione sismica

Località: Pozzuoli

PGA: 0,17g

Zona sismica: 2 (medio alta)



4º zona

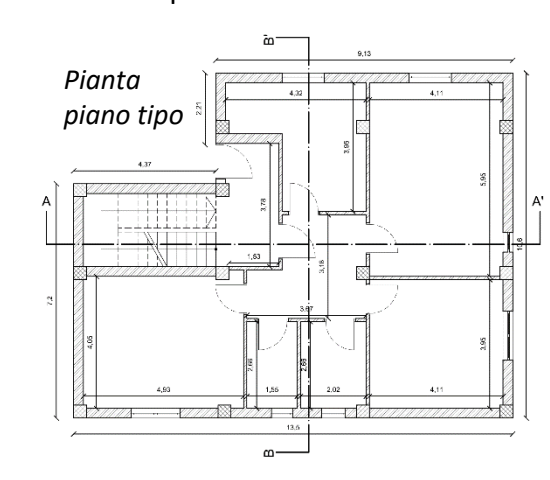
3º zona

Destinazione d'uso: residenziale

Superficie totale: **130 m**<sup>2</sup>

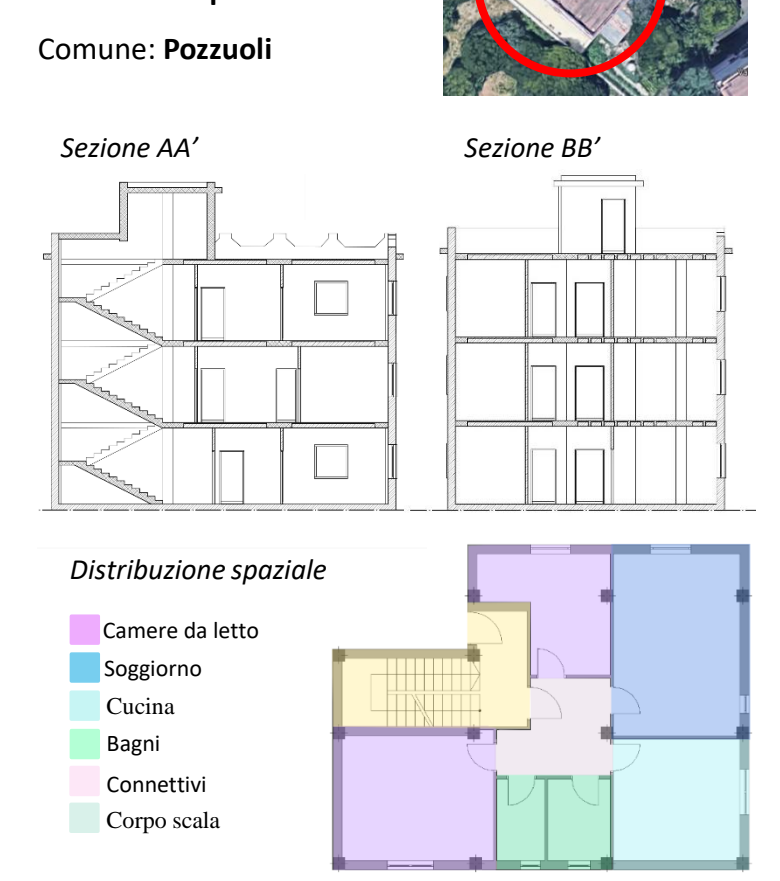
Superficie appartamento: **110 m**<sup>2</sup>

Numero di piani: 3



Regione: Campania

Provincia: Napoli



Vista assonometrica

Applicazione numerica del sistema: Edificio residenziale in



Prospetto Nord Est

Prospetto Nord Ovest

provincia di Napoli

























Applicazione numerica del sistema: Vulnerabilità sismica

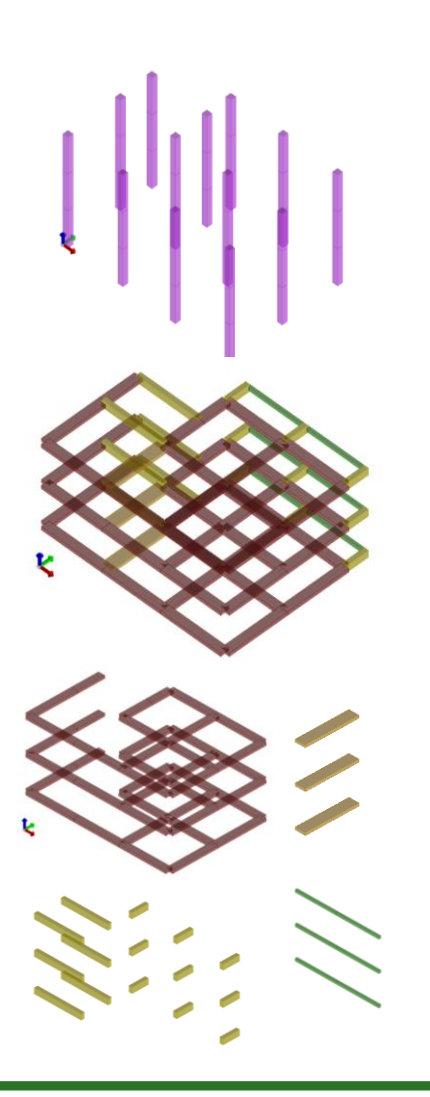
## **Lamiere Forate in acciaio**

## **Tipologia Pilastri**

40 x 40 cm 4 φ16, staffe φ8/20

#### **Tipologia Travi**

- 60 x 22 cm (a spessore) Af sup=  $4 \, \phi 16$ ; Af inf=  $4 \, \phi 16$ staffe φ8/20
- 80 x 22 cm (a spessore) Af sup=  $4 \, \phi 16$ ; Af inf=  $4 \, \phi 16$ staffe φ8/20
- 20 x 22 cm (a spessore) Af sup=  $2 \phi 16$ ; Af inf=  $2 \phi 16$ staffe φ8/20
- 30 x 50 cm (emergente) Af sup=  $2 \phi 16$ ; Af inf=  $2 \phi 16$ staffe φ8/20



#### **Sovraccarico Solai**

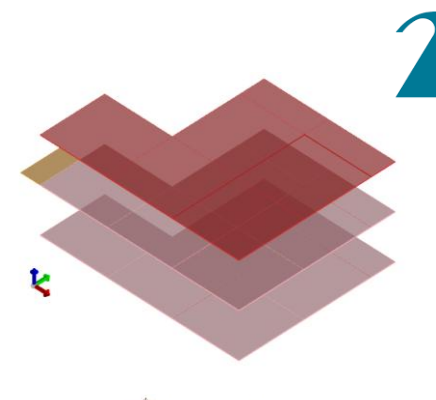
- Solaio interpiano Qsol = 200 kg/mq
- Solaio di copertura Qcop = 50 kg/mq
- Balcone Qsol = 400 kg/mq

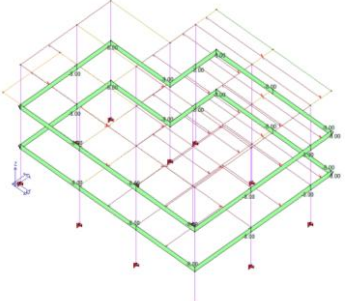
#### Tamponatura esterna

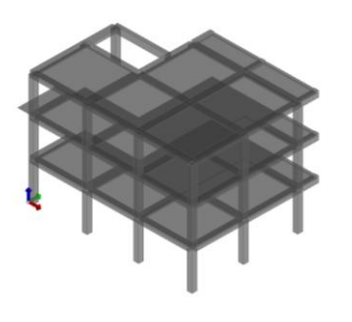
Carico della tamponatura

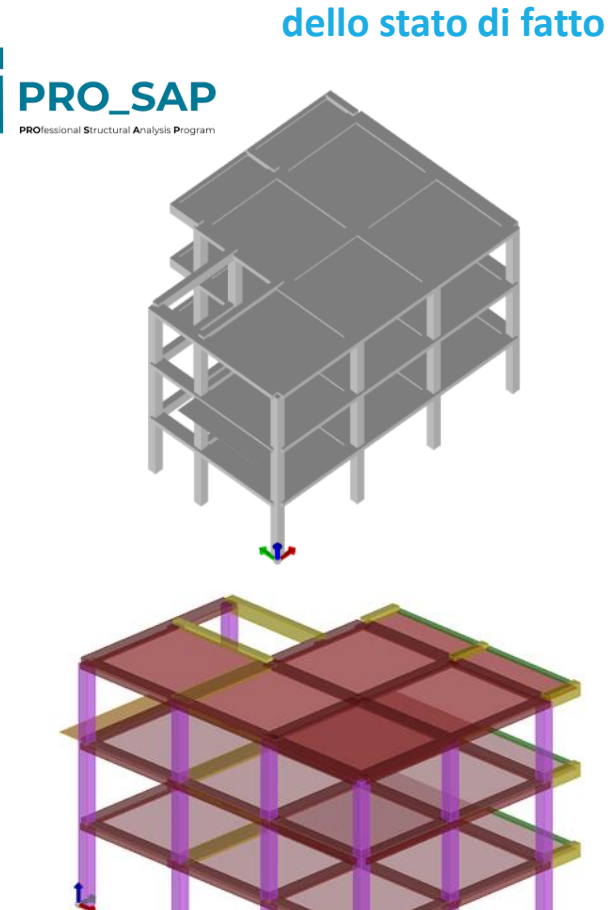
#### Materiali

Calcestruzzo C12/15



























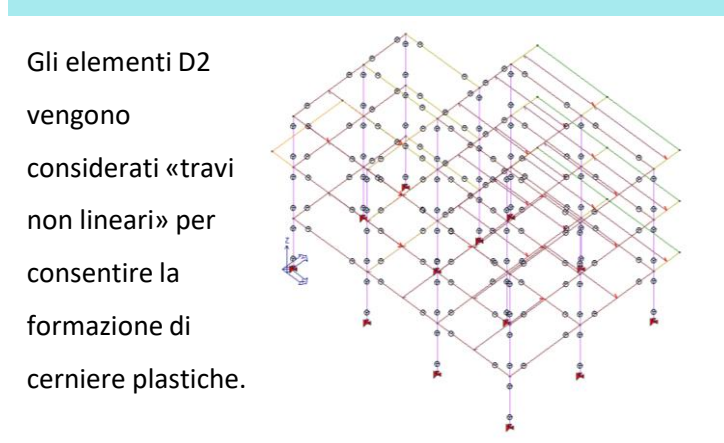




## **Lamiere Forate in acciaio**

Applicazione numerica del sistema: Vulnerabilità sismica dello stato di fatto – Analisi statiche non lineari

#### 1. Creazione di «travi non lineari»



#### 2. Importazione capacità del modello sorgente

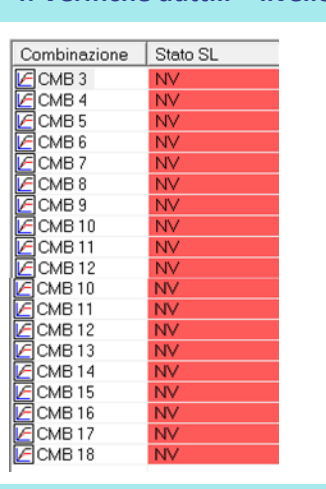
Passaggio necessario per definire i momenti ultimi.

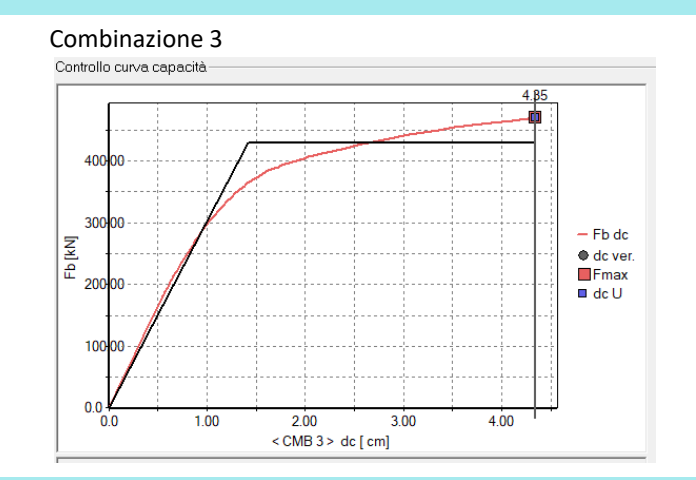
#### 3. Azioni indotte dal sisma (statico equivalente)

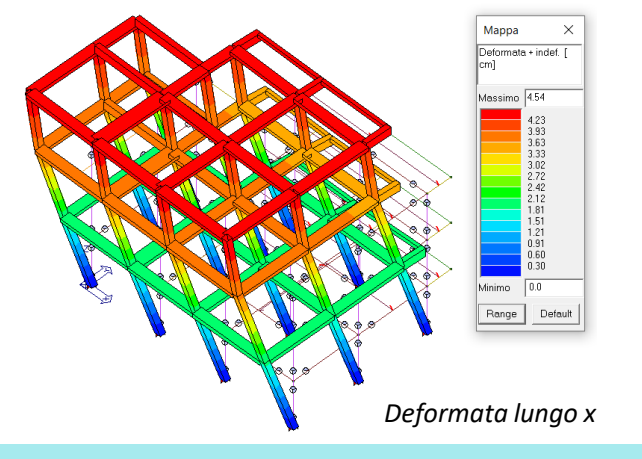
	Gruppo 1		
Tipo di azione	Distribuzione delle forze d'inerzia	Direzione	Eccentrcità
SLV	Distribuzione proporzionale alle forze di piano	Χ	Positiva
SLV	Distribuzione proporzionale alle forze di piano	Υ	Positiva
SLV	Distribuzione proporzionale alle forze di piano	Χ	Negativa
SLV	Distribuzione proporzionale alle forze di piano	Υ	Negativa

Gruppo 2						
Tipo di azione	Distribuzione delle forze d'inerzia	Direzione	Eccentrcità			
SLV	Distribuzione proporzionale alle masse	Х	Positiva			
SLV	Distribuzione proporzionale alle masse	Υ	Positiva			
SLV	Distribuzione proporzionale alle masse	Х	Negativa			
SLV	Distribuzione proporzionale alle masse	Υ	Negativa			

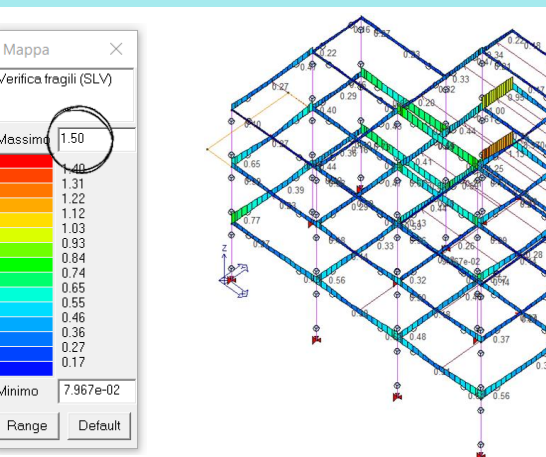
#### 4. Verifiche duttili – livello di sicurezza 100%

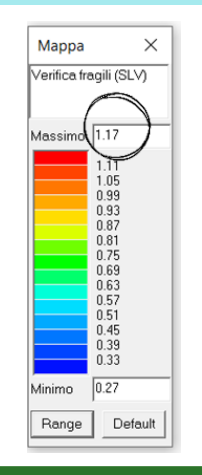


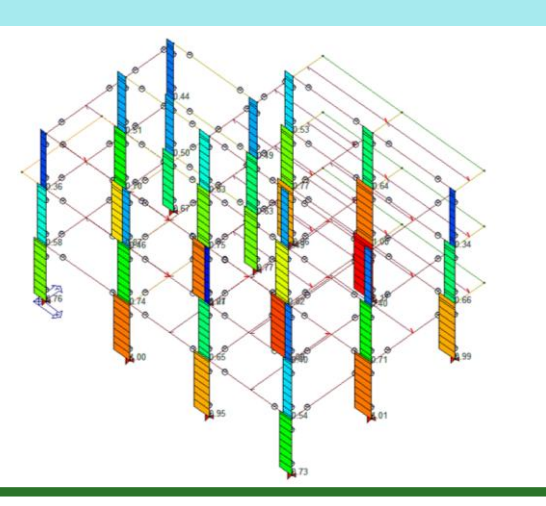




#### 5. Verifiche fragili – livello di sicurezza 100%



























## **Lamiere Forate in acciaio**

Applicazione numerica del sistema: Vulnerabilità sismica dello stato di fatto – Analisi statiche non lineari

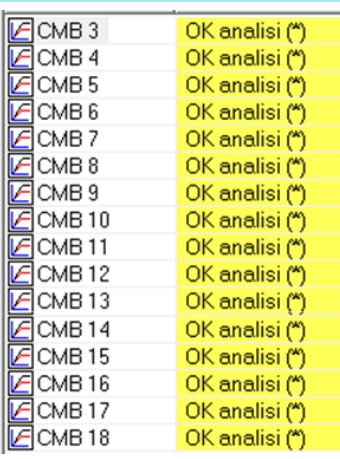
Il livello di sicurezza deve essere ridotto al 30% per poter ottenere che entrambe le verifiche, duttili e fragili, siano soddisfatte.

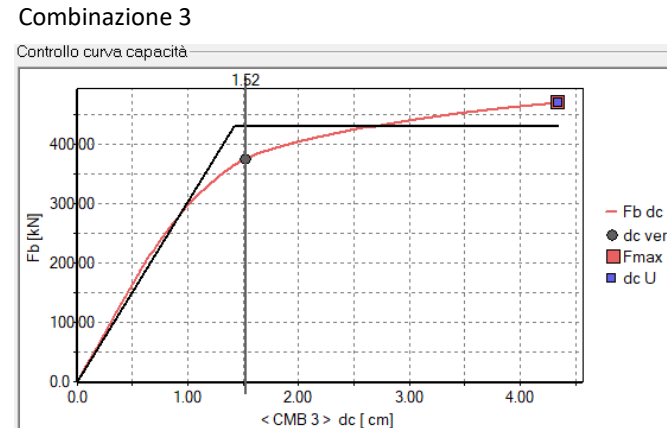


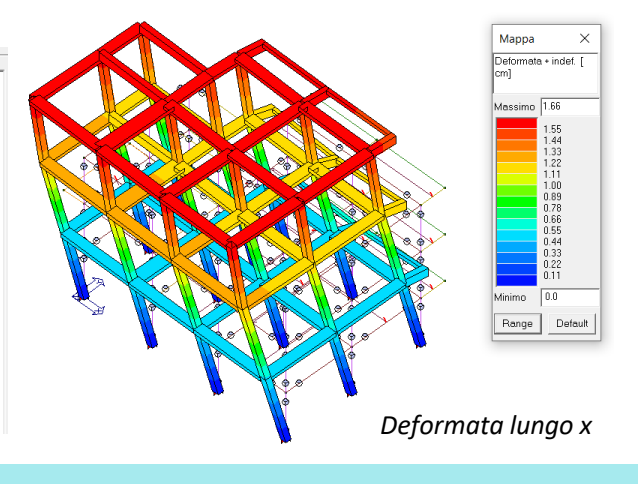
coefficiente di sicurezza sismico

$$\zeta E = 0.3$$

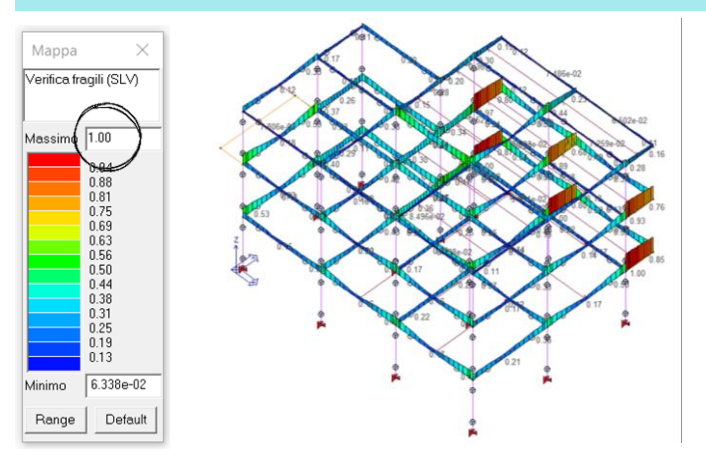
## 6. Verifiche duttili – livello di sicurezza 30%

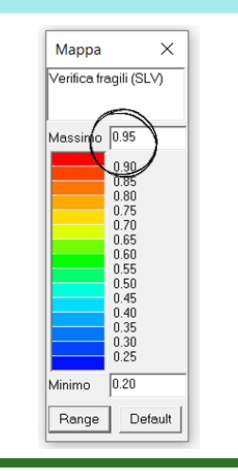


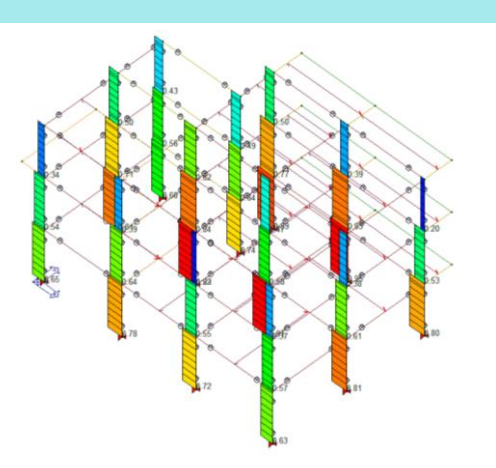




#### 7. Verifiche fragili – livello di sicurezza 30%























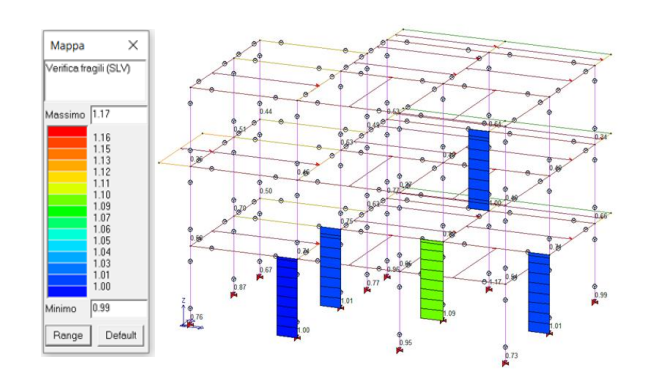




## **Lamiere Forate in acciaio**

Applicazione numerica del sistema: Intervento di retrofit

#### 1- Pilastri su cui intervenire:



#### 2- Intervento di confinamento:

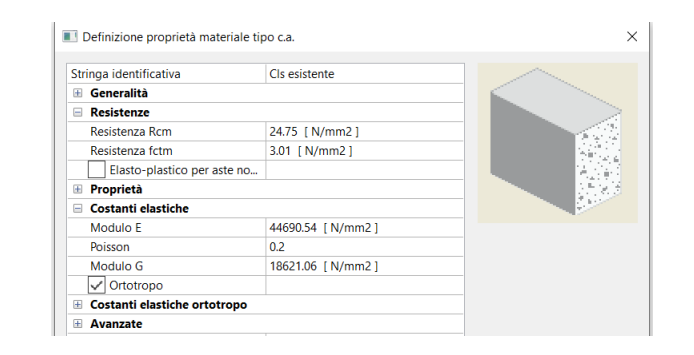
- incremento della resistenza a compressione;
- incremento della resistenza a taglio.

#### 3- Tipologia di lamiera applicata:

Lamiera					
acciaio	fyk	S	2r fori		
-	Мра	cm	cm		
S275	275	0,4	2,35		

#### 4- Implementazione nel programma:

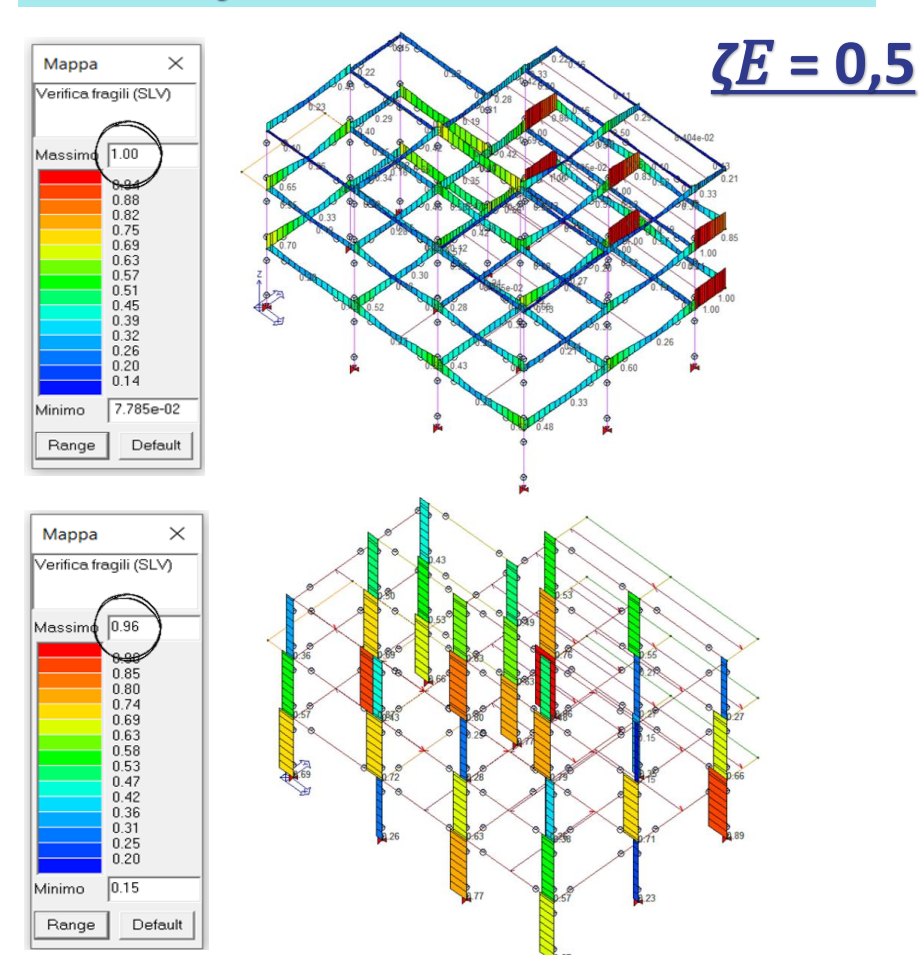
- riduzione del passo delle staffe: 10 cm
- incremento della resistenza del calcestruzzo



#### 5- Verifiche duttili – livello di sicurezza 50%:

CMB 3	OK analisi (*)	Controllo curva d	capacità ———				
GMB 4	OK analisi (*)	500.00			2.75		
CMB 5	OK analisi (*)	30000					
CMB 6	OK analisi (*)	1					-
CMB 7	OK analisi (*)	400 00	//				-
CMB 8	OK analisi (*)						-
CMB 9	OK analisi (*)	300 00					
CMB 10	OK analisi (*)	\$					- Fb do
CMB 11	OK analisi (*)	중 - 20000	/				-
CMB 12	OK analisi (*)	200 00	/				■ dc U
CMB 13	OK analisi (*)	<del> </del>	<b>/</b>				-
CMB 14	OK analisi (*)	100 00 - /	ļļ				-
CMB 15	OK analisi (*)	1./					_
CMB 16	OK analisi (*)						
CMB 17	OK analisi (*)	0.0	1.00	2.00	3.00	4.00	_
CMB 18	OK analisi (*)			< CMB 3 > dc	[ cm]		

#### 6- Verifiche fragili – livello di sicurezza 50%:























## **Lamiere Forate in acciaio**



- ① Paraspigolo in acciaio 31x31x0,6mm
- ② Stucco coprifuga
- 3 Lastra di cartongesso di 12,5mm
- 4 Bullone 8.8 M14

Dimensioni C

- (5) Lamiera forata da 4mm
- 6 Profilo montante 150x50x1mm
- Ocolonna in cls 400x400mm
- **®** Vite autoperforante 212/25 punta HS

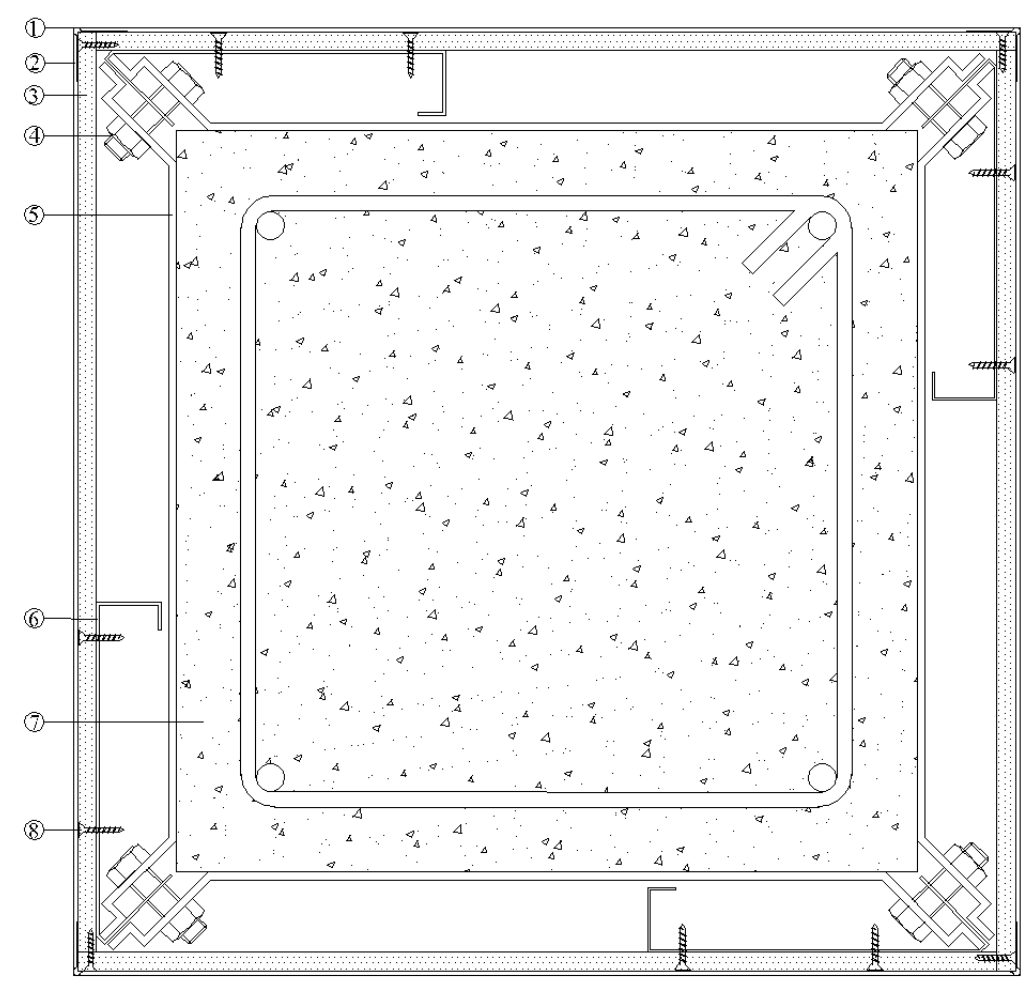
**Profilo Montante a C Knauf** 

Spessore

	•	_	
[mm ]	[mm ]	[mm ]	
50/150/50	1	3000	+
			+
		1	

Lunghezza

Applicazione numerica del sistema: Impatto estetico dell'intervento – Finitura esterna della lamiera























## **Lamiere Forate in acciaio**

Inserimento di elementi d'arredo (mensole in legno o in cartongesso)

1 Paraspigolo in acciaio 31x31x0,6mm

② Stucco coprifuga

3 Lastra di cartongesso di 12,5mm

4) Bullone 8.8 M14

(5) Squadretta 37x40x1,5mm

6 Tassello per cls in acciaio 10x60mm

7) Vite autofilettante

8) Profilo montante a C 38x38x1,5mm

(9) Mensola in legno 130x80x40mm

10 Rivestimento adesivo di spessore 250 µ

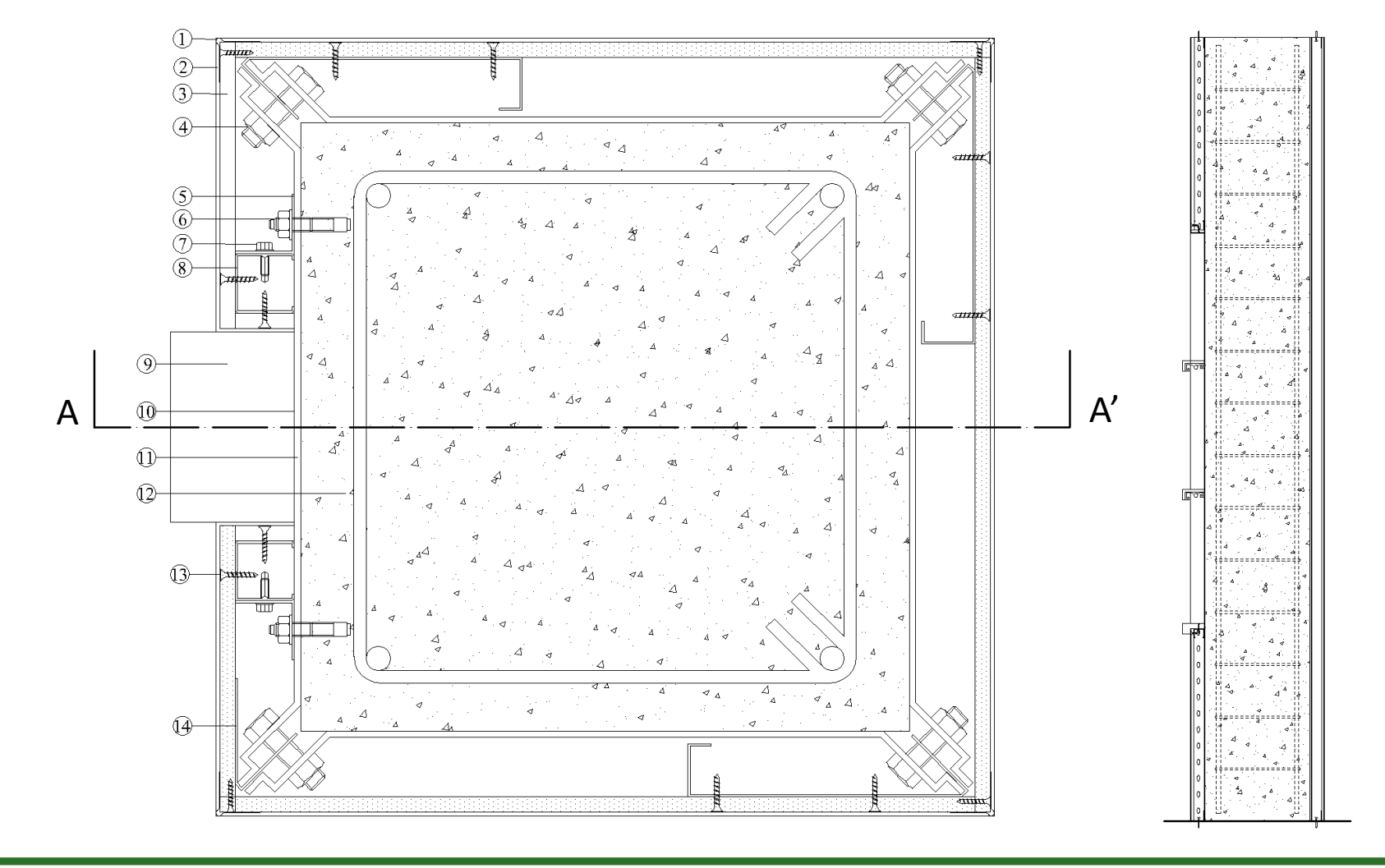
11 Lamiera microforata 4mm

12 Colonna in cls 400x400mm

(13) Vite autoperforante 212/25 punta HS

14) Profilo montante a C tagliato

Applicazione numerica del sistema: Impatto estetico dell'intervento – Finitura esterna della lamiera























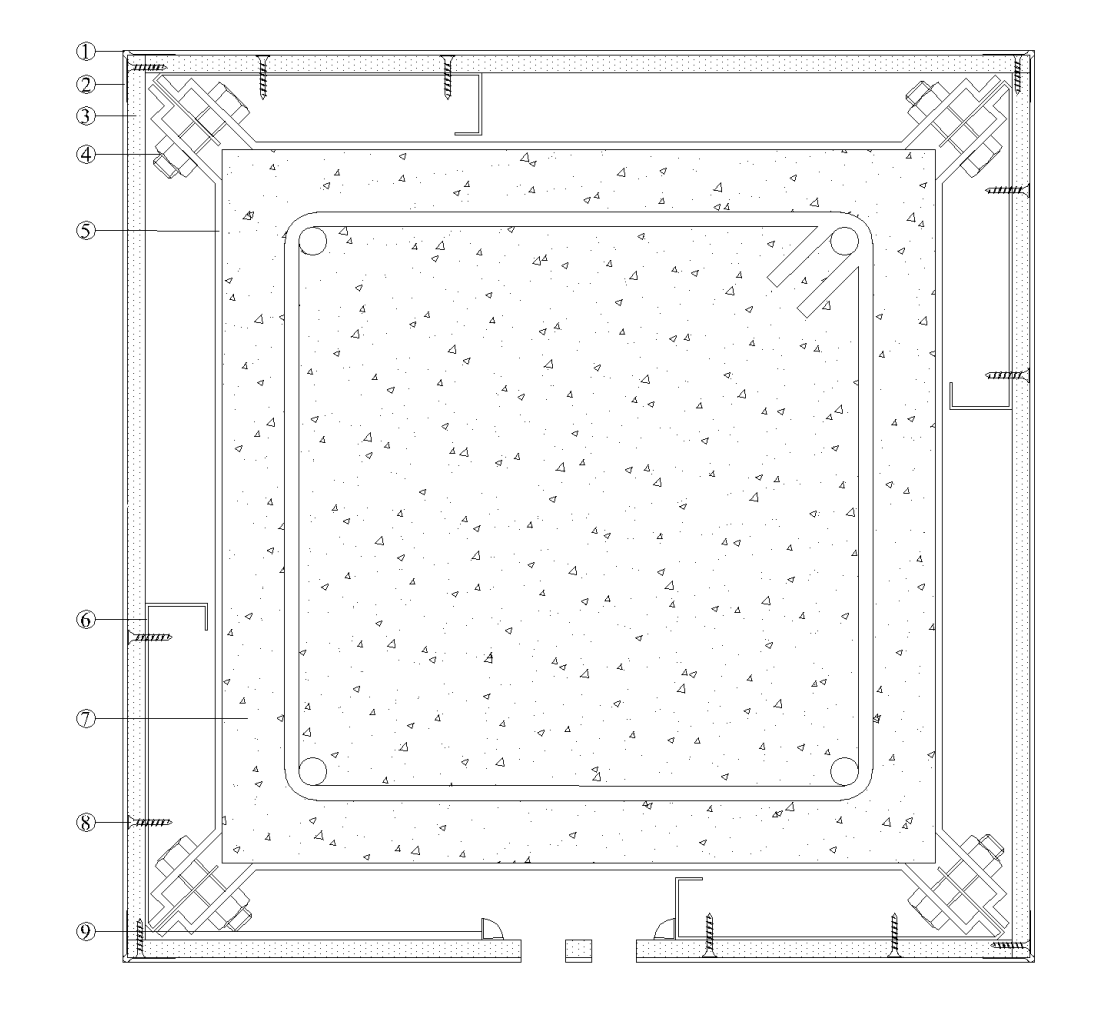
## **Lamiere Forate in acciaio**

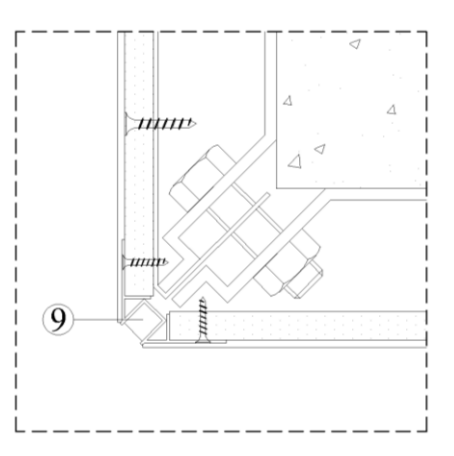
Applicazione numerica del sistema: Impatto estetico dell'intervento – Finitura esterna della lamiera

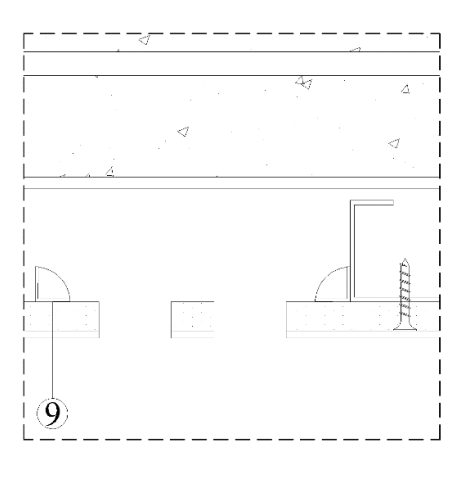
- Possibilità di innestare un punto luce led tra la lamiera e il pannello di finitura
- ① Paraspigolo in acciaio 31x31x0,6mm
- ② Stucco coprifuga
- ③ Lastra di cartongesso di 12,5mm
- 4 Bullone 8.8 M14
- (5) Lamiera microforata da 4mm
- 6 Profilo montante 150x50x1,5mm
- OColonna in cls 400x400mm
- ® Vite autoperforante 212/25 punta HS
- Profilo in alluminio per striscia Led



























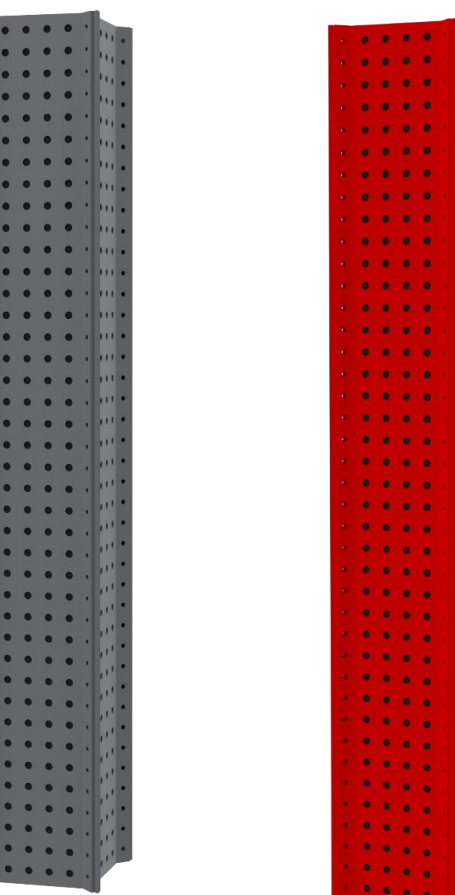


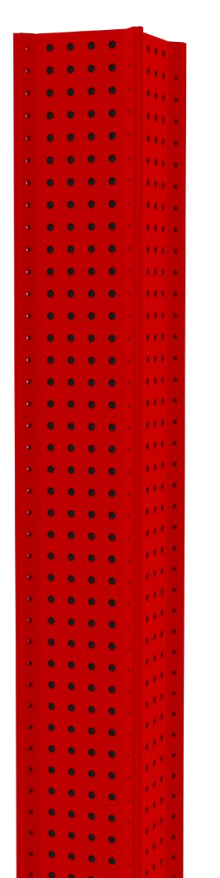


## **Lamiere Forate in acciaio**

Applicazione numerica del sistema: Impatto estetico dell'intervento – Finitura esterna della lamiera









#### > Destinazione d'uso residenziale























**5.1 Caso 1:** Rinforzo locale di colonne in c.a.

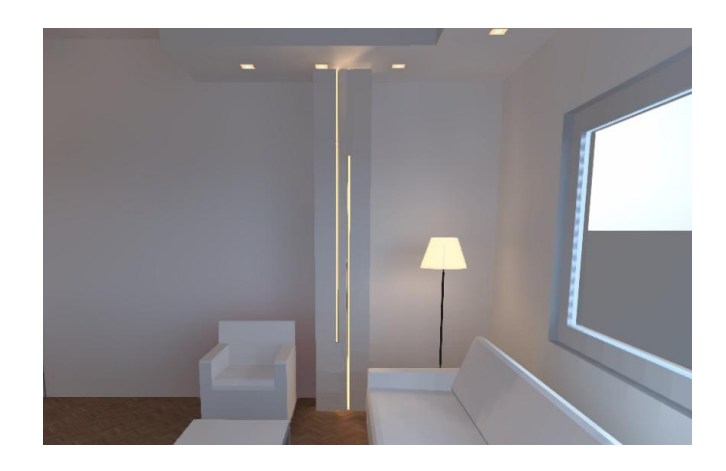
dell'intervento – Finitura esterna della lamiera

Applicazione numerica del sistema: Impatto estetico

## **Lamiere Forate in acciaio**

#### Destinazione d'uso residenziale



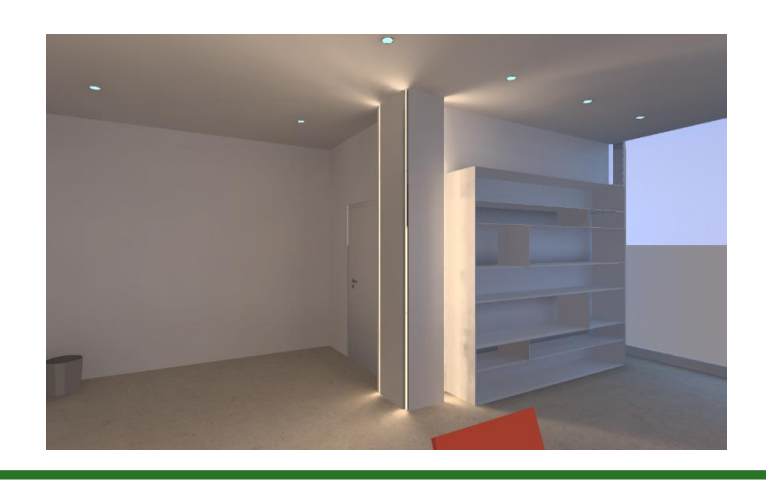




#### > Destinazione d'uso ufficio



























## I sistemi a cappotto

Cosa sono

Si tratta di sistemi integrati che rappresentano una **soluzione innovativa, leggera e poco invasiva** per la riqualificazione sismo – energetica del patrimonio edilizio esistente.

Essi sono, infatti, applicati <u>esternamente</u> alla struttura e permettono con un <u>singolo intervento</u> di migliorare sia le <u>performance sismiche</u> che quelle <u>energetiche</u> del fabbricato.

Il sistema è inoltre contraddistinto da una notevole rapidità in fase di montaggio, consentendo di ridurre i tempi e i costi di cantiere.

Come sono realizzati

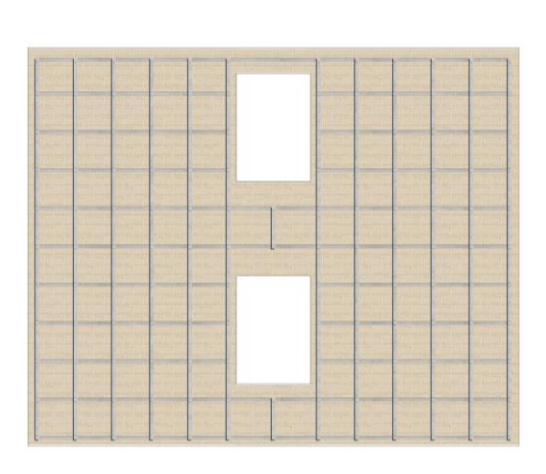
Generalmente essi sono formati da un telaio di base con elementi metallici cold formed o estrusi (realizzati in acciaio o in lega di alluminio) costituito da profili verticali e orizzontali disposti ad interasse variabile e connessi alla struttura di base (murature o telai in c.a.).

Gli spazi che si creano tra i profili vengono poi riempiti con pannelli termo - isolanti.

#### Schema d'applicazione

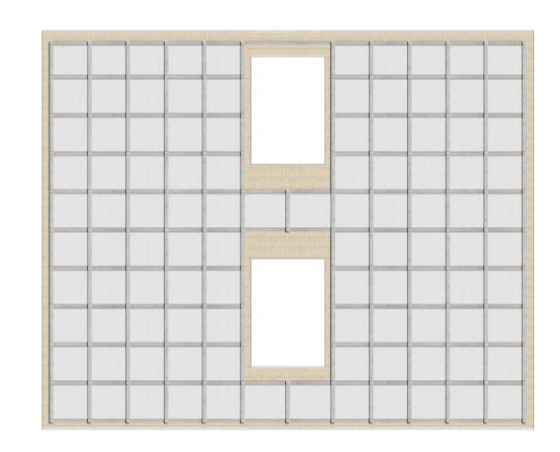
#### Fase 1

Posizionamento dei profili verticali ed orizzontali che formano il telaio di base ad interassi prefissati.



Fase 2

Ottenuto il telaio di base, negli spazi vuoti ottenuti dal posizionamento dei profili si posizionano i pannelli termoisolanti.



Fase 3

Completamento del sistema con finitura esterna.





















## I sistemi a cappotto

Normativa di riferimento

Nel caso di **profili in acciaio**, si fa riferimento all'**Eurocodice 3** – «*Progettazione delle strutture in acciaio*".

Nel caso di **profili in lega di alluminio**, si fa riferimento all'<u>Eurocodice 9</u> - «*Progettazione delle strutture in alluminio*"

Per il sistema in lega di alluminio l'Eurocodice 9, unitamente alle Istruzioni CNR-DT 208/2011, contiene le indicazioni per il dimensionamento e la verifica dei profili estrusi.

Modalità di impiego

Intervento Locale - §8.4.2 delle NTC2018

Gli interventi di questo tipo riguardano singole parti e/o elementi della struttura. Essi non debbono cambiare significativamente il comportamento globale della costruzione.

Intervento Globale - §8.4.3 delle NTC2018

In questo caso, l'intervento è esteso a tutte le parti della struttura potenzialmente interessate da modifiche di comportamento, nonché alla struttura nel suo insieme.

A meno di specifiche situazioni, a seguito degli interventi di miglioramento, il coefficiente  $\zeta_E$  deve essere incrementato di un valore comunque non minore di 0,1.

Il sistema serve a contrastare i meccanismi locali di collasso, come il ribaltamento delle pareti. Si configura come sistema di rinforzo della struttura in c.a. Il cappotto non è collegato in fondazione.

Il sistema è collegato in fondazione e permette di ottenere un miglioramento/adeguamento sismico della struttura.



















**5.2 Caso 2:** Rinforzo globale edificio scolastico in c.a.

## Confronto tra tre sistemi a cappotto

Il caso studio: Caratteristiche geometriche e strutturali

#### Localizzazione del sito



Campania



Provincia di Napoli



Somma Vesuviana

Vista dall'alto del sito, Google Earth



#### La struttura

#### Destinazione d'uso

Edificio scolastico articolato su 2 livelli fuori terra.

#### Strutture in elevazione

Struttura intelaiata in c.a. con tamponature in blocchi di laterizio

#### Strutture orizzontali

Solai latero - cementizi

#### **Fondazioni**

Fondazioni di tipo diretto con plinti isolati in c.a.

#### Vista esterna della struttura



Vista atrio interno















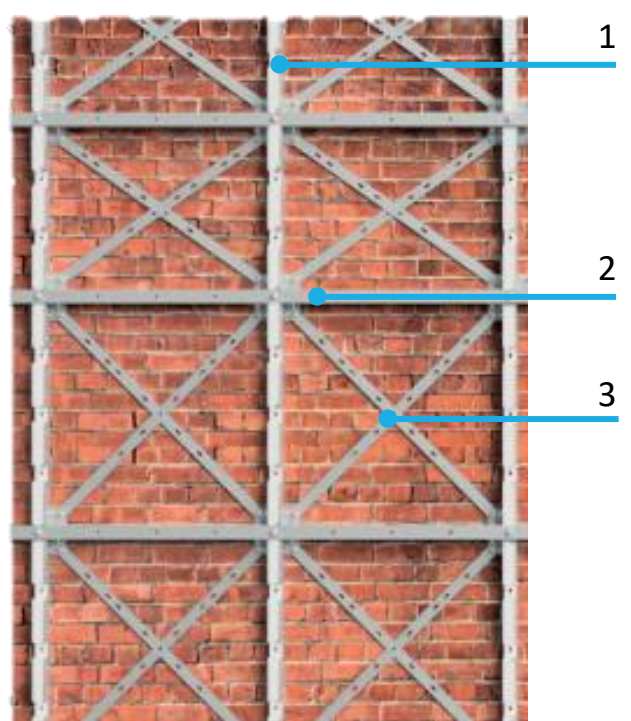


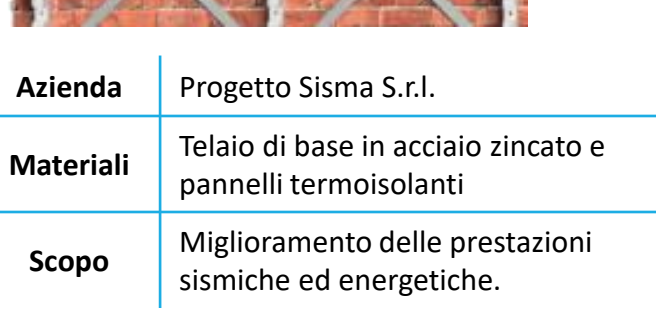




**5.2** Caso 2: Rinforzo globale edificio scolastico in c.a.

## Sistema 1: Resisto 5.9





1 – 2 Montanti e traversi



**Profili** 

3 Diagonali di controvento con configurazione a Croce di Sant'Andrea



#### **Connessioni**

Profili e diagonali Piatti in acciaio



Con la muratura



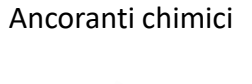
**Tra due profili**Piatti ad L



**D'angolo**Piatti ad L



Accessori di fissaggio





Viti autofilettanti







Scopo











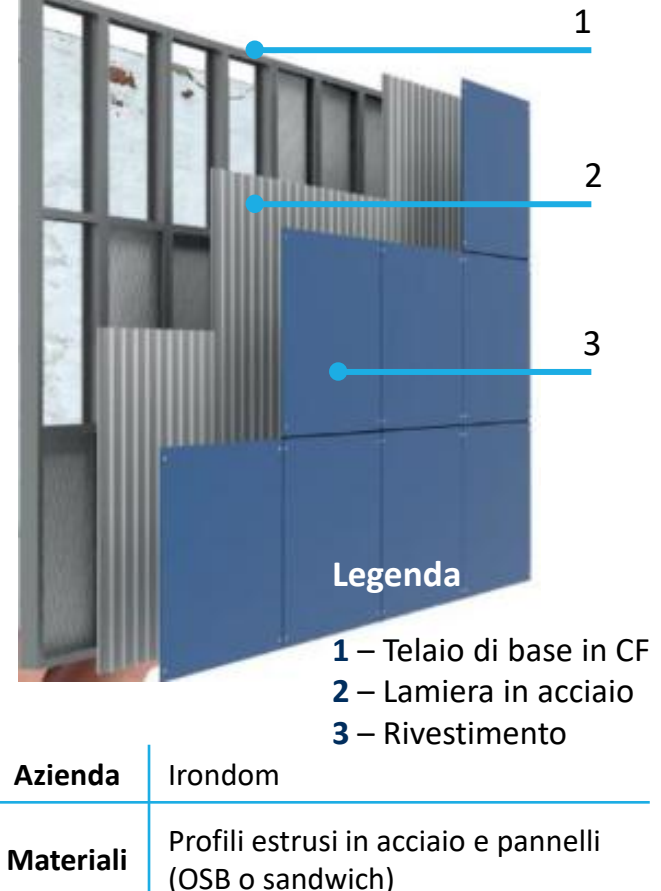






**5.2 Caso 2:** Rinforzo globale edificio scolastico in c.a.

## Sistema 2: Duo System



Miglioramento delle performance

sismiche ed energetiche

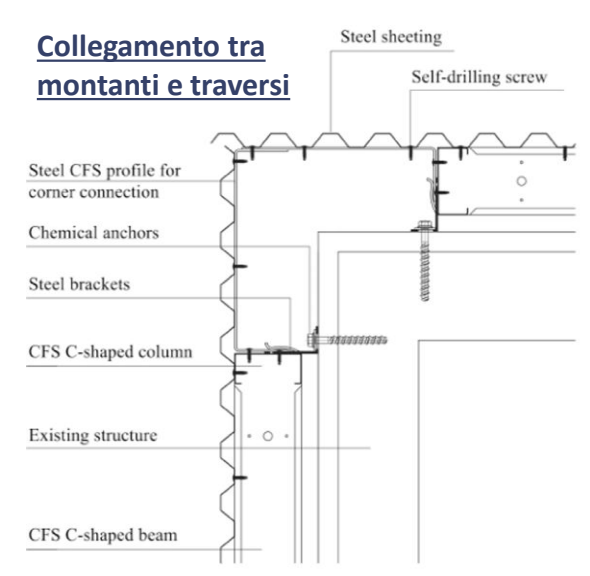
È composto da un telaio in CF (Cold-Formed) costituito da profili in alluminio, pannelli isolanti incorporati nell'altezza di questi profili, una lamiera in acciaio zincato che funge da elemento resistente al sisma e la finitura esterna.

Gli elementi verticali e orizzontali sono costituiti da profili a C con dimensioni di 100x45 + 10 mm e spessore di 1.6 mm.

L'interasse standard tra gli elementi verticali e orizzontali è di 1200 mm.

Il telaio è collegato alla struttura esistente tramite staffe in acciaio da 60x80 mm e ancoraggi chimici. Le viti sono invece utilizzate per collegare gli elementi tra loro e per il fissaggio della lamiera, con spessore 0.7 mm, al telaio.

Profilo a C per montanti e traversi



Collegamento CFS - Struttura

Vulnerabilità e Retrofit sismico con sistemi in carpenteria metallica di edifici esistenti in muratura e in c.a.



















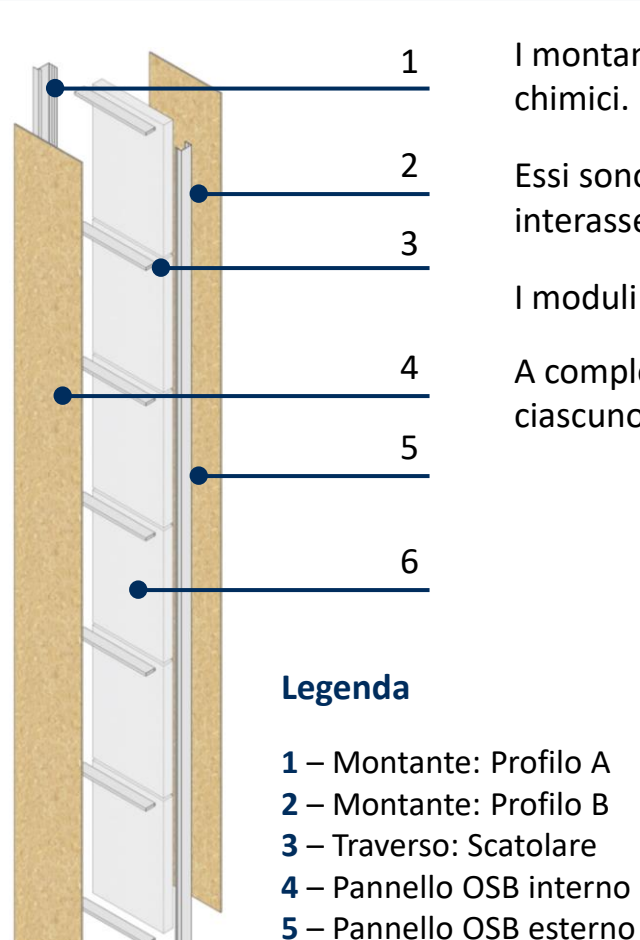


**5.2 Caso 2:** Rinforzo globale edificio scolastico in c.a.

## Sistema 3: MIL15

#### Vista assonometrica di un modulo del sistema MIL15

6 – Schiuma poliuretanica



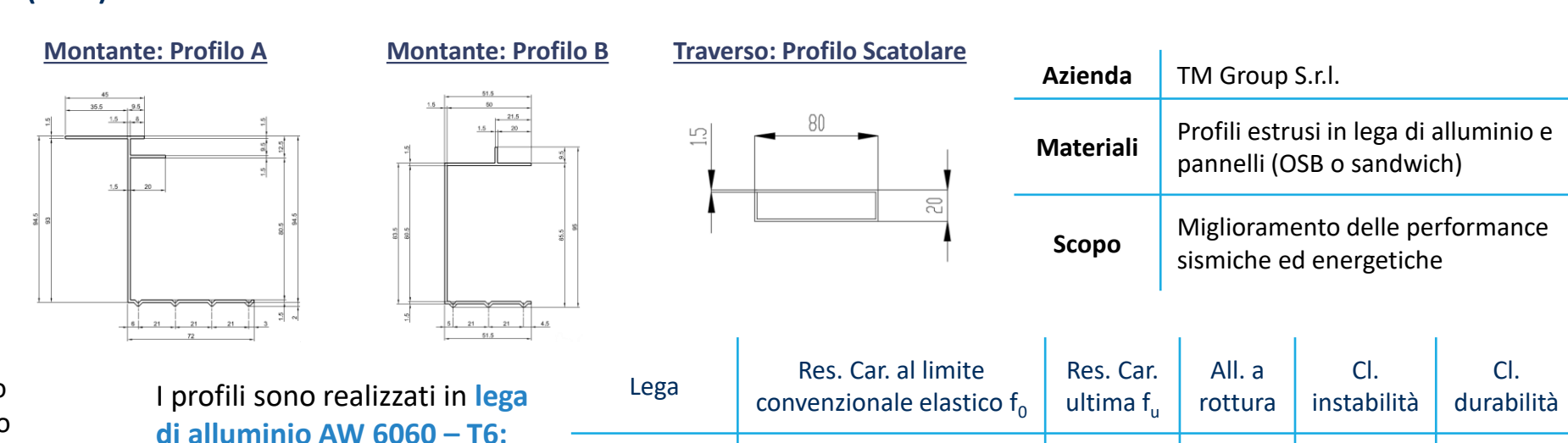
I montanti (1 -Profilo A e 2 - Profilo B) vengono fissati alla struttura ad <u>interasse</u> prefissato pari a circa <u>60 cm</u> con ancoranti chimici.

Essi sono poi collegati ai <u>traversi orizzontali</u> (3) tramite viti auto perforanti. I profili orizzontali sono generalmente posti con un interasse pari a H/4 (due di estremità in corrispondenza delle fasce marcapiano e due intermedi).

I moduli così ottenuti sono riempiti con schiuma poliuretanica (6) per garantire l'isolamento termico.

A completamento del sistema vengono collegati al telaio due pannelli in OSB (uno interno e l'altro esterno) da 9 mm di spessore ciascuno (4-5).

Al - Si - Mg



150 MPa

Α

8%

190 MPa

В





















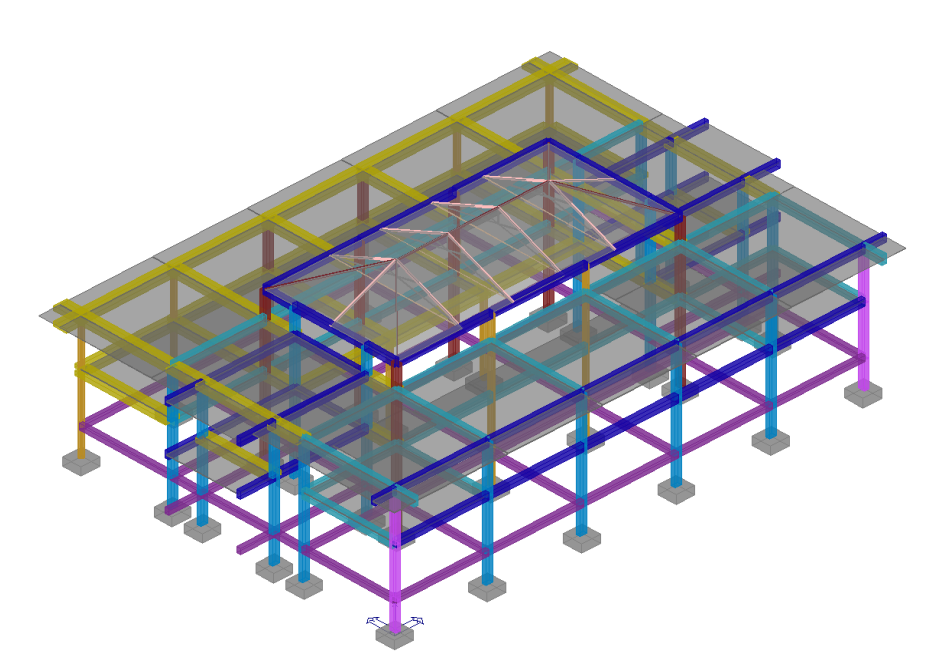
Stato di fatto

Il caso studio: Valutazione della vulnerabilità sismica –

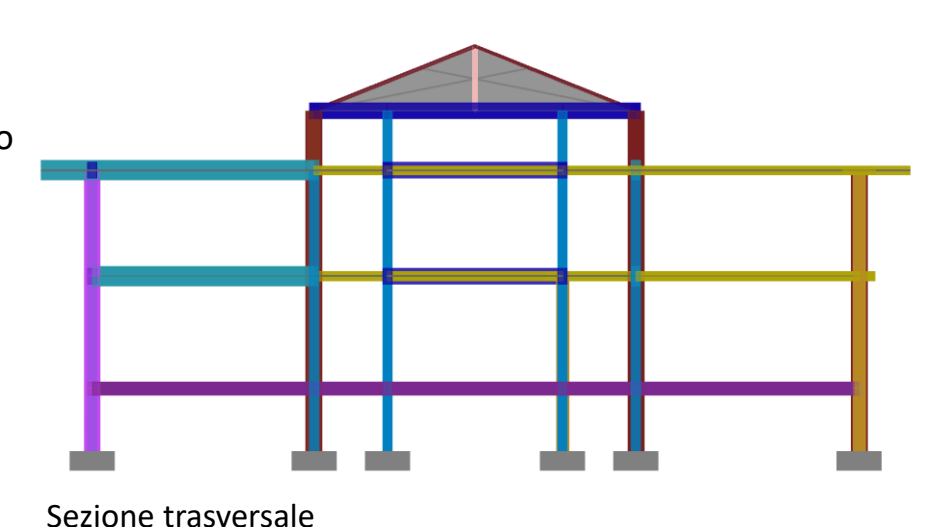
#### Confronto tra tre sistemi a cappotto

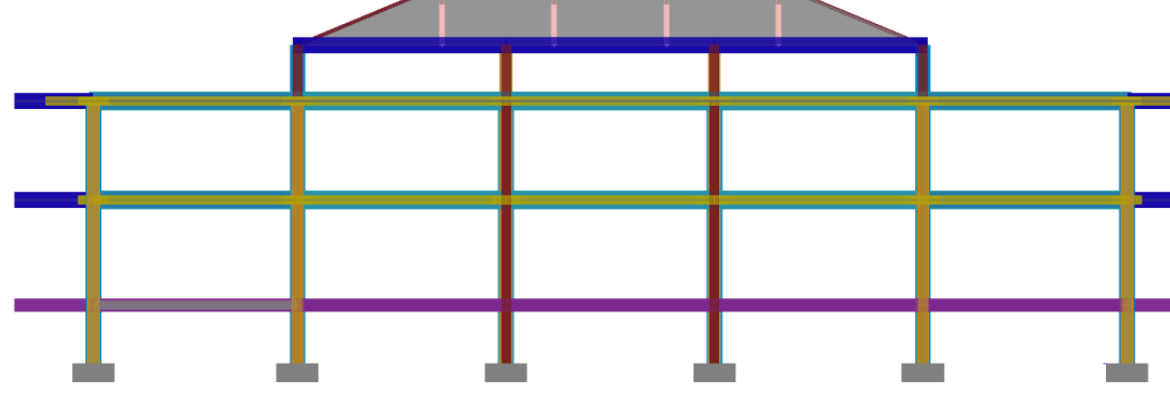
#### Analisi Statica Non Lineare – Software ProSap

1. Valutazione del comportamento della struttura allo Stato di Fatto



Vista tridimensionale del caso studio





Sezione longitudinale





















#### Confronto tra tre sistemi a cappotto

#### Analisi Statica Non Lineare – Software ProSap

2. Risultati Analisi allo Stato di Fatto - SLV

# Curva Pushover 3000 2500 1500 1000 500 0 1 2 3 4 Spostamento [cm]





Default

















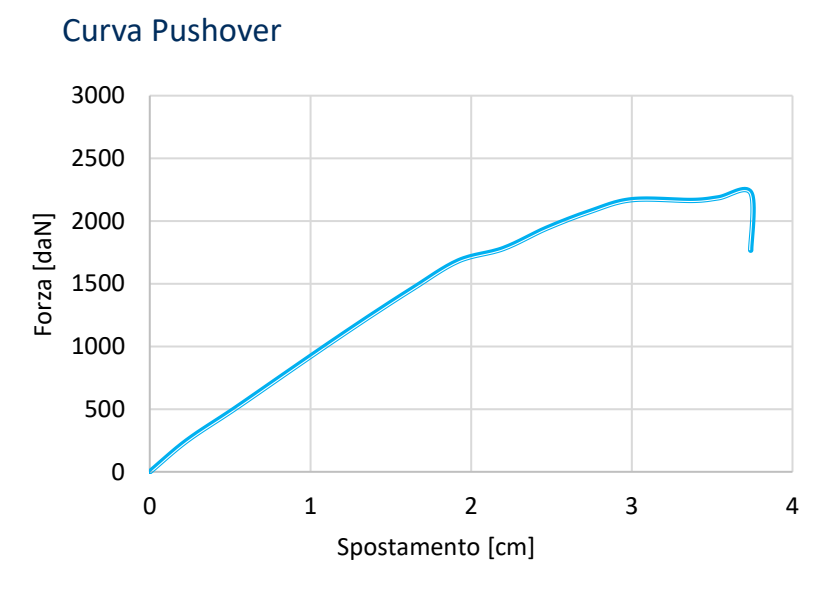




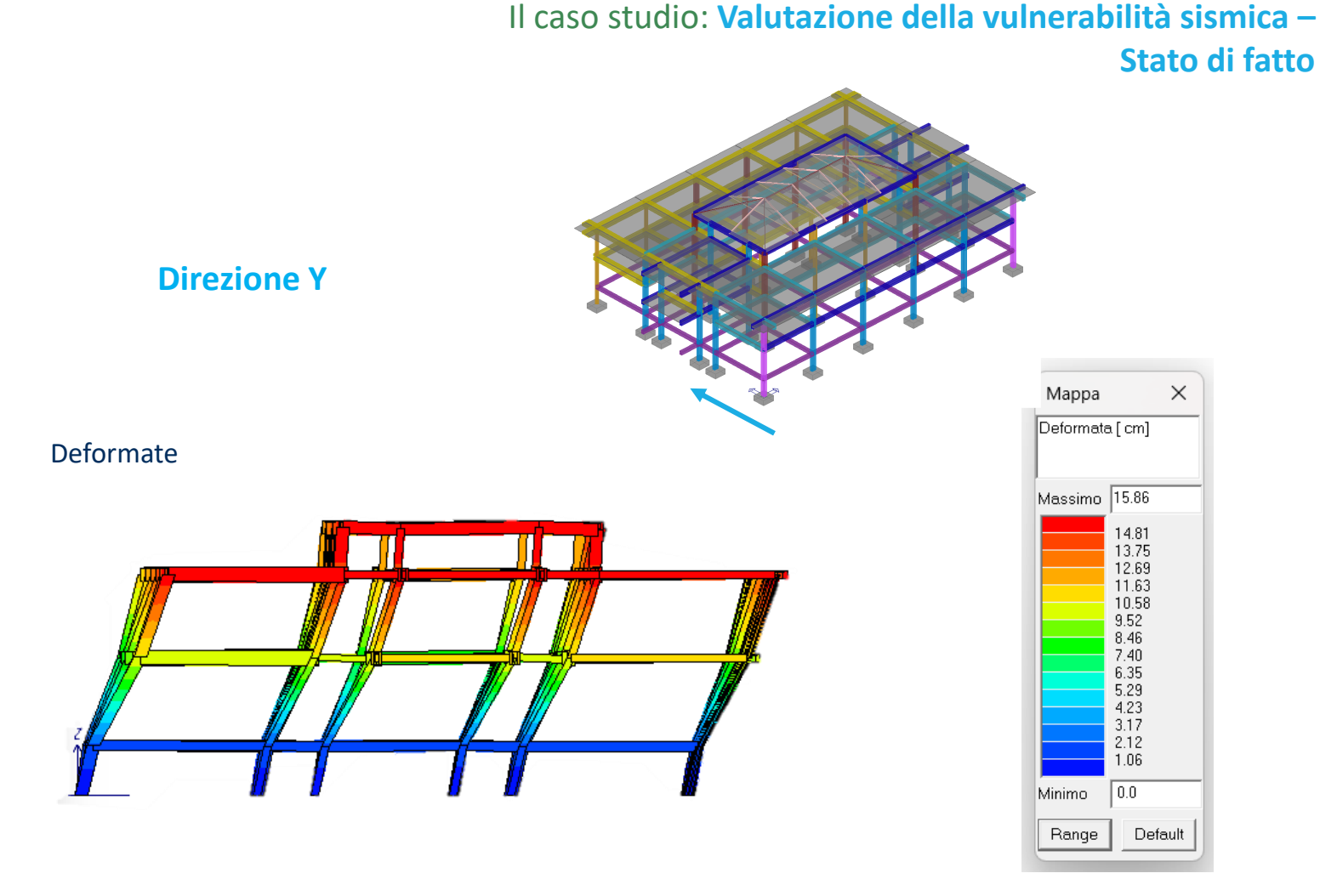
#### Confronto tra tre sistemi a cappotto

#### Analisi Statica Non Lineare – Software ProSap

2. Risultati Analisi allo Stato di Fatto - SLV

























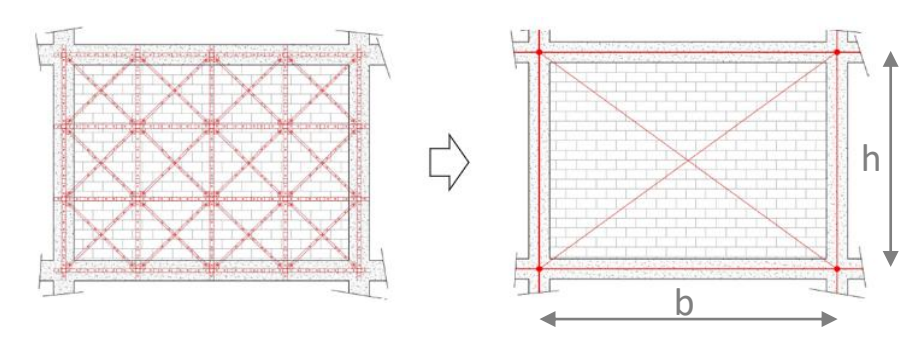


Il caso studio: Dimensionamento dei sistemi

#### Modellazione numerica sistemi a cappotto

#### Step 1

Per ogni maschio murario, si modella un telaio corrispondente ai profili di base del sistema e al sistema sismo – resistente schematizzato con una diagonale equivalente



#### Step 2

Calcolo del diametro di ogni diagonale considerando la rigidezza di ognuna di esse con la seguente equazione (1):

$$K_{eq} = \Sigma k_i$$
 (1)

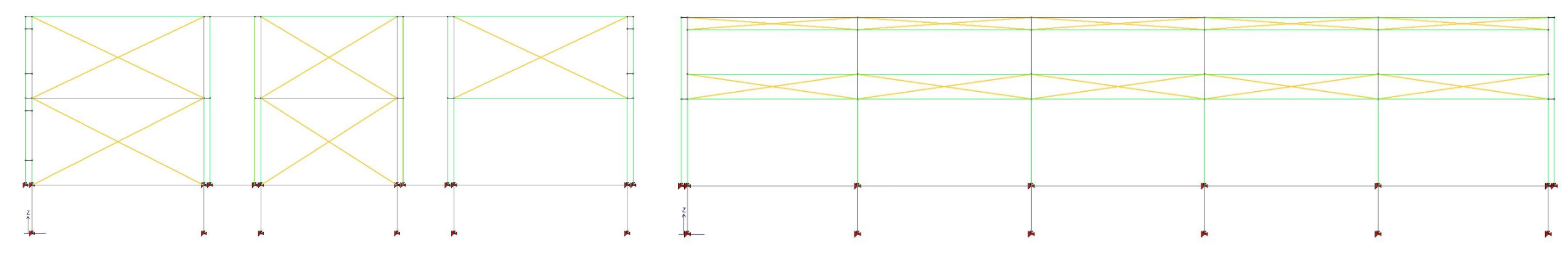
#### Step 3

Nota la rigidezza equivalente, è possibile con l'equazione (2) derivare l'area e quindi il diametro di ogni diagonale.

$$K_{eq} = E_p \cdot A_p / I_p \cdot \cos^2 \alpha$$
 (2)

Dove:

- • $E_p = E_s$  è il modulo elastico del materiale.
- •l<sub>p</sub> = lunghezza equivalente, uguale a b/cosα
- • $\alpha$  = arctg h/b

















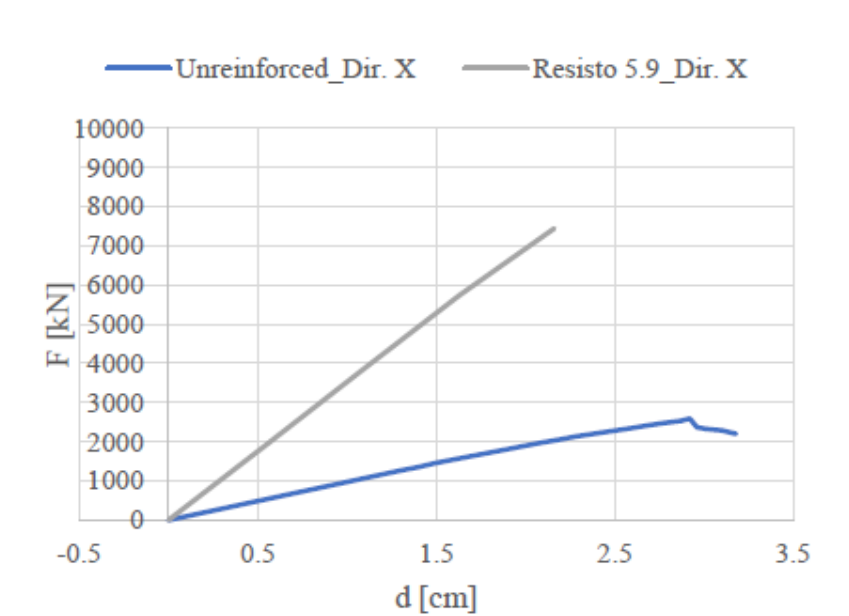


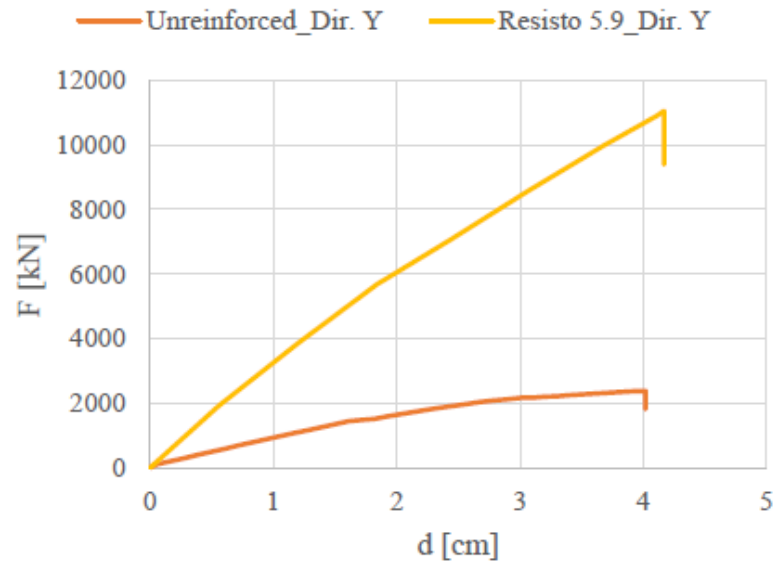


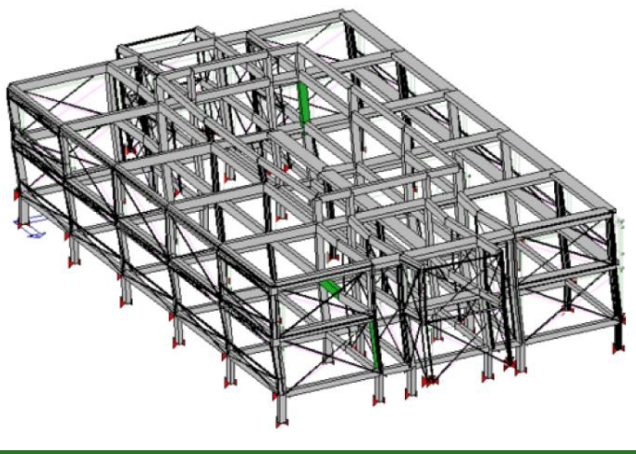


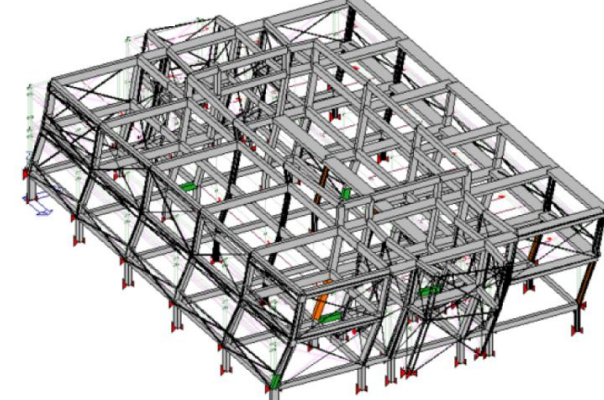
Il caso studio: Risultati modello consolidato

#### Sistema 1: Resisto 5.9























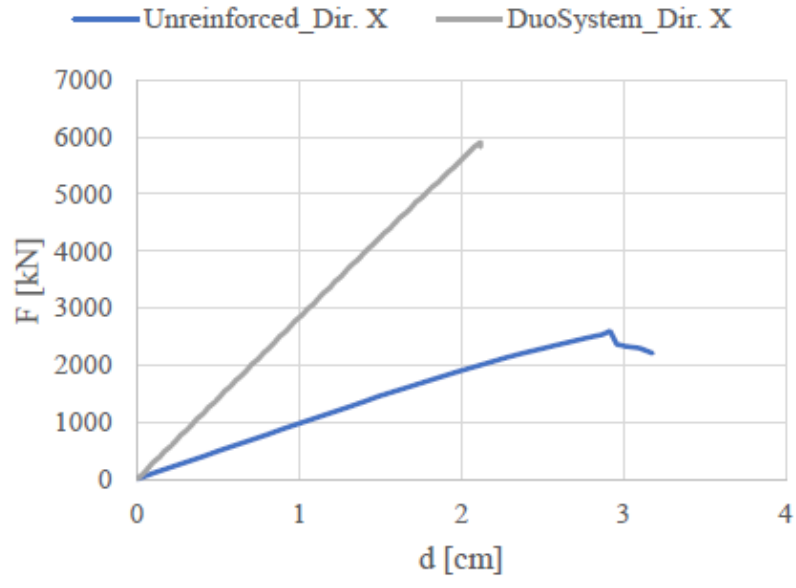


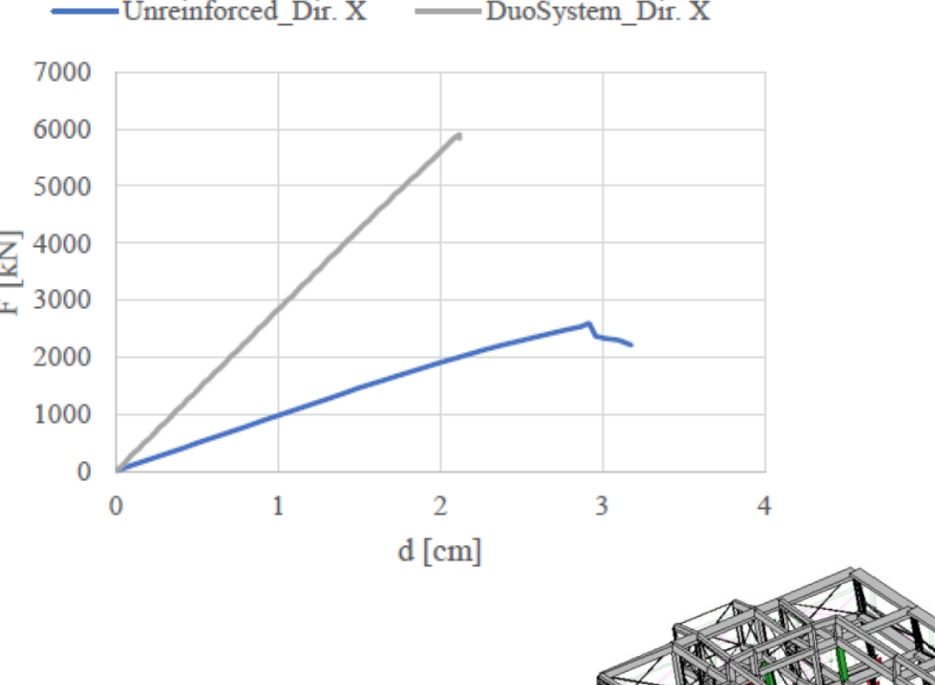


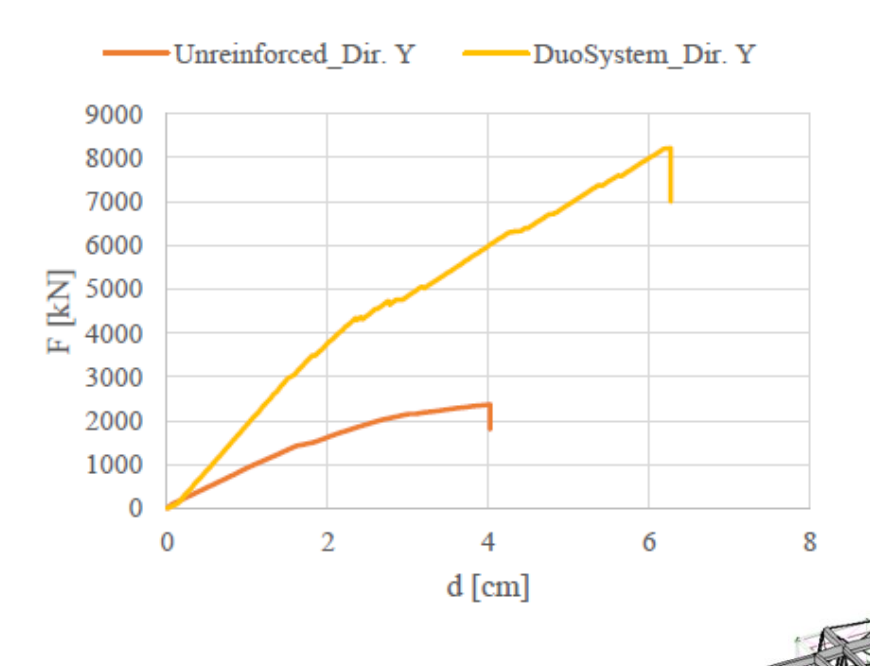


Il caso studio: Risultati modello consolidato

#### Sistema 2: Duo System























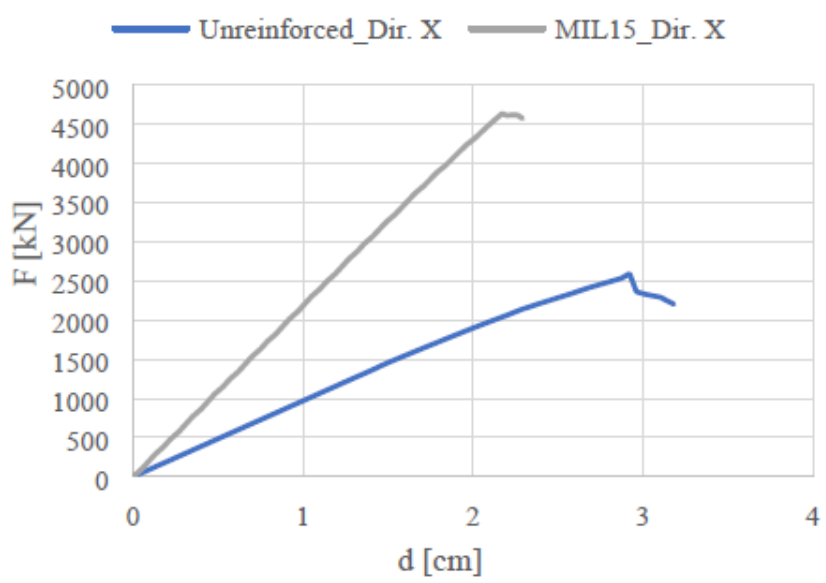


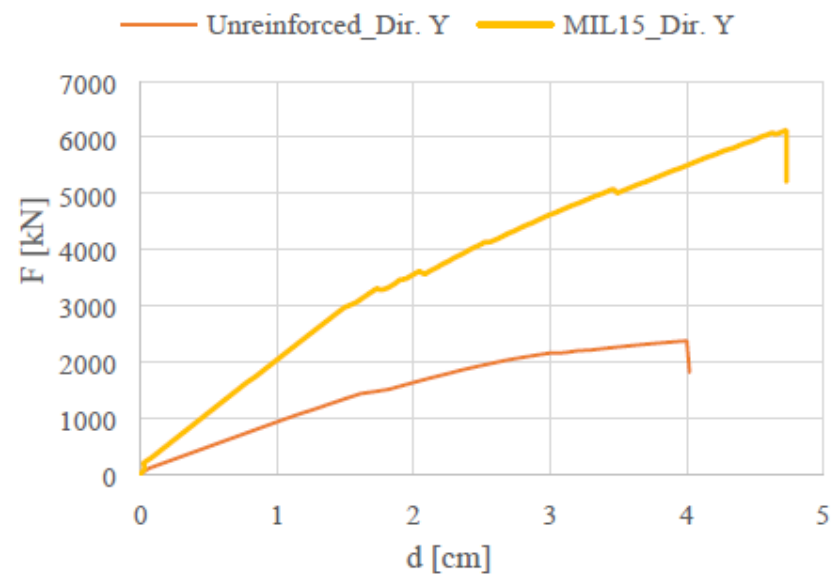


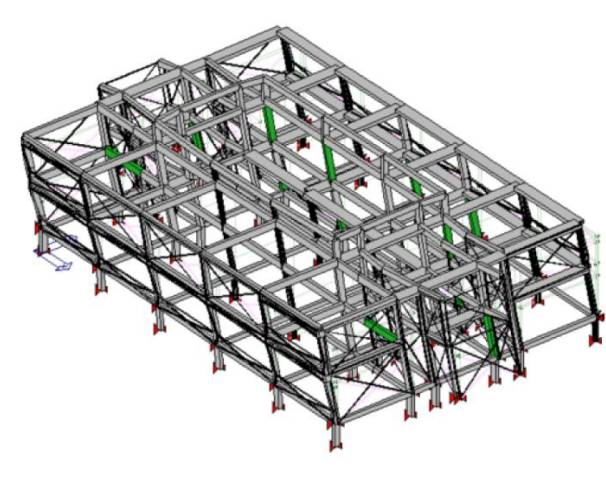
**5.2 Caso 2:** Rinforzo globale edificio scolastico in c.a.

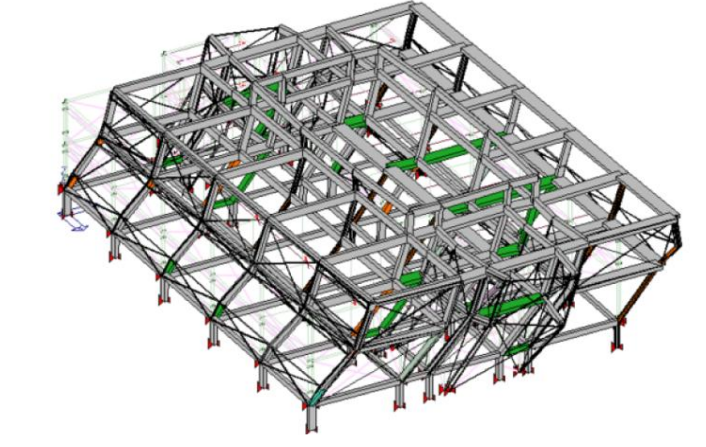
Il caso studio: Risultati modello consolidato

#### Sistema 3: MIL15





















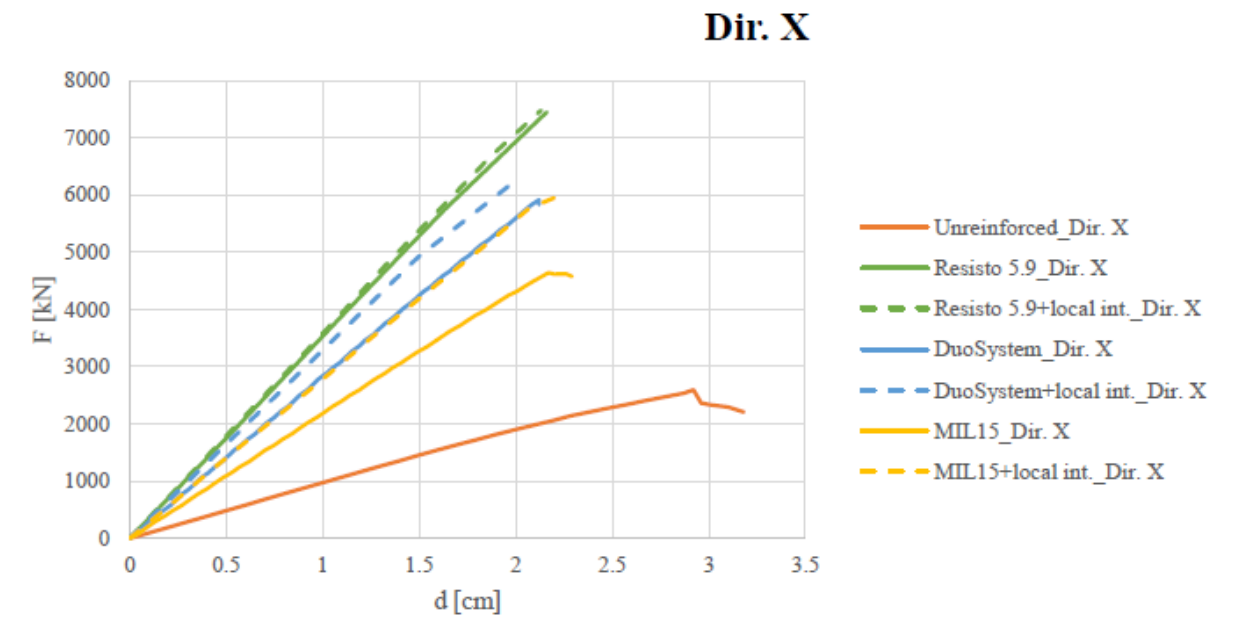




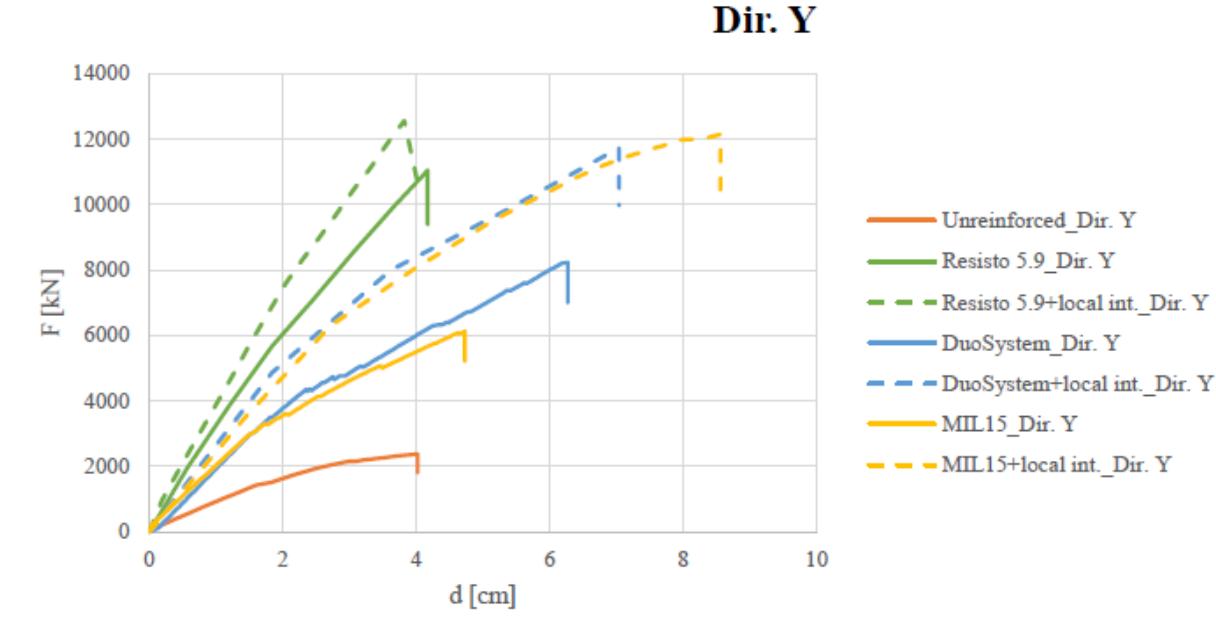




#### **Confronto**







Modello	$\zeta_E$	Incremento dell'indice
Stato di fatto	0.19	-
Resisto 5.9	0.45	0.26
Duo System	0.30	0.11
MIL 15	0.28	0.09



















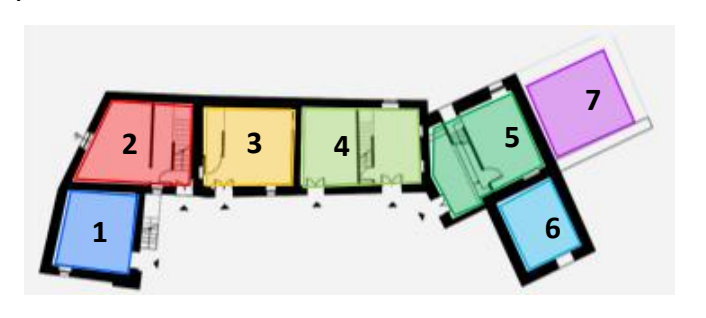
#### MIL15s per il retrofit sismico di un aggregato in muratura

Il caso studio: Caratteristiche geometriche e strutturali

Vista dall'alto (Google Maps, 2024)



L'aggregato in muratura, sito a Castelpoto (BN), è composto da <u>7 US</u> posizionate a quote differenti per via della loro posizione sul fianco di una collina.









Le unità si distinguono per materiali differenti usati sia per le strutture verticali che per i solai intermedi.

#### Livello di conoscenza LC1:

Valore minimo per le resistenze e valore medio per i moduli elastici



Muratura irregolare in pietra tenera						
Res. media a compressione f <sub>m</sub>	Mod. el. normale E	Mod. el. tangenziale G	Peso specifico W	Res. media a taglio τ		
[N/mm <sup>2</sup> ]	[N/mm <sup>2</sup> ]	[N/mm <sup>2</sup> ]	[kN/m³]	[N/mm²]		
1,4	1080	360	14	0,028		
Muratura regolare in pietra tenera						
Res. media a compressione f <sub>m</sub> Mod. el. normale E Mod. el. tangenziale G Peso specifico W Res. media a taglio τ						
2,0	1410	450	16	0,04		
Muratura in mattoni pieni e malta di calce						
Res. media a compressione f <sub>m</sub>	Mod. el. normale E	Mod. el. tangenziale G	Peso specifico W	Res. media a taglio τ		
2,6						

#### Solai intermedi:

- Solaio con travi in legno (Unità n. 1, 3, 6)
- Solai con travi in acciaio e voltine in muratura (Unità n. 2, 4, 5).

L'Unità 7 non ha nessun solaio intermedio in quanto è composta da un unico livello.













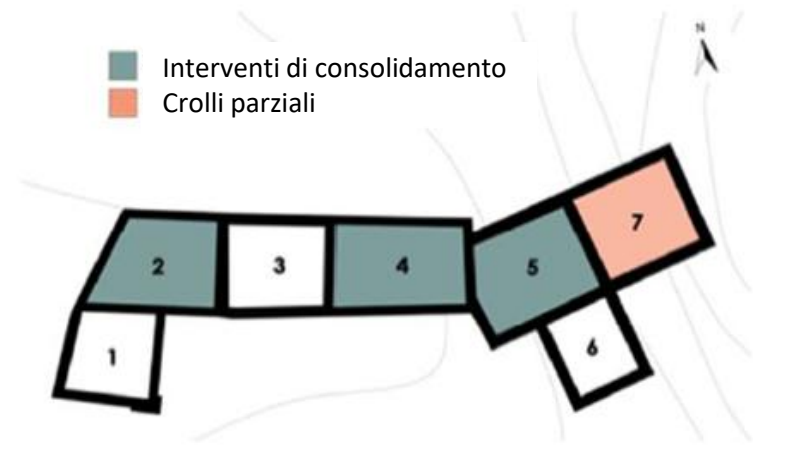






#### MIL15s per il retrofit sismico di un aggregato in muratura

Il caso studio: Caratteristiche geometriche e strutturali



- Le unità strutturali n. **2, 4 and 5** sono state sottoposte ad alcuni interventi di consolidamento risalenti agli anni '40 del 1900.
- L'US n. 7 ha subito alcuni crolli parziali.
- Le altre unità n. 1, 3 and 6 non sono mai state sottoposte ad operazioni di retrofit.

#### Stato attuale dell'aggregato: Quadro fessurativo

Fenomeni di schiacciamento













Crollo del tetto



























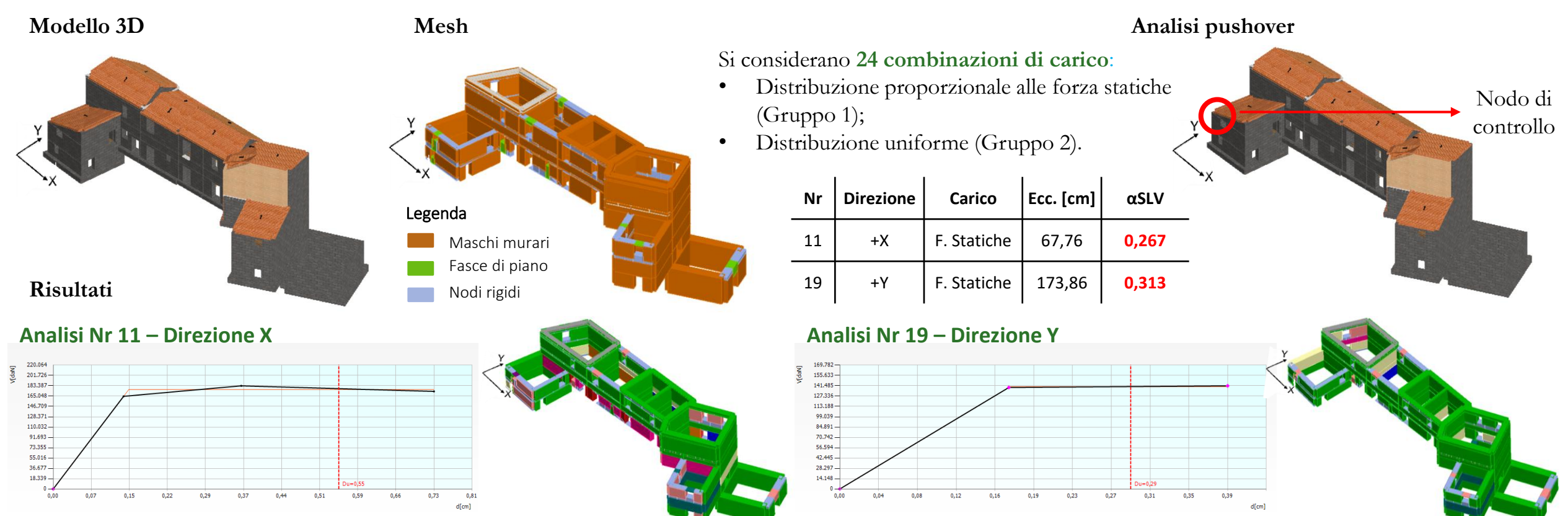




#### MIL15s per il retrofit sismico di un aggregato in muratura

Il caso studio: Analisi di vulnerabilità - Stato di fatto

- Scopo: Valutazione del comportamento sotto azioni sismiche dell'aggregato, modellato con un software basato su un approccio a macro elementi, attraverso l'esecuzione di analisi statiche non lineari.
- > <u>Software:</u> TreMuri STA.DATA. Il software divide ogni pannello murario in 3 macro elementi: maschi murari (accanto alle aperture), fasce di piano (sopra/sotto le aperture) e nodi rigidi (ottenuti come intersezione tra i primi due elementi e assunti con un comportamento infinitamente rigido).

















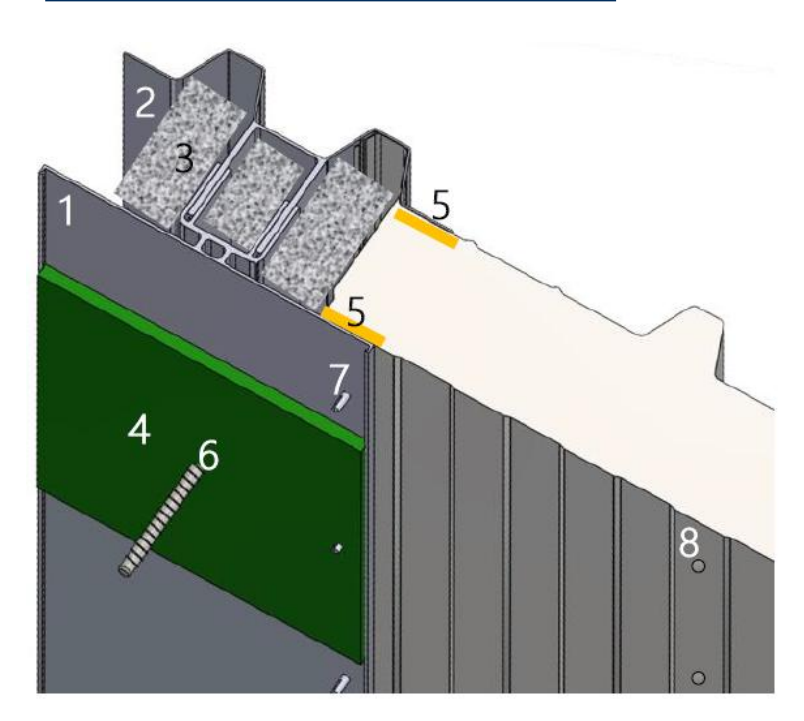




#### MIL15s per il retrofit sismico di un aggregato in muratura

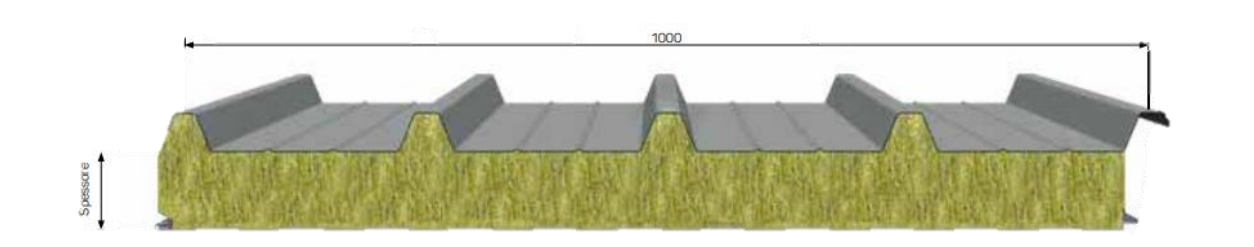
Il sistema integrato: MIL15.s

#### Vista assonometrica del sistema MIL15s

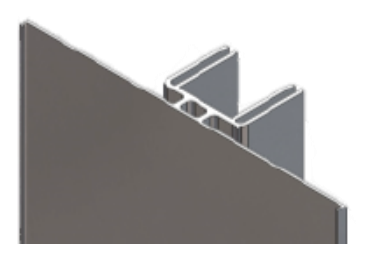


#### Il sistema

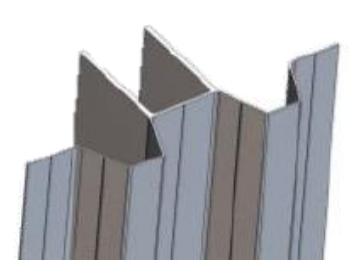
- Il profilo di base (1) è fissato tramite il distanziale a taglio termico (4) alla struttura di base con ancoranti chimici in corrispondenza di ogni fascia marcapiano.
- Successivamente esso accoglie il pannello sandwich con isolante (lana di roccia o poliuretano) e doppia lamiera metallica (interna di tipo microgrecato ed esterna grecata a 5 greche) del tipo IsoPan o similari.



Profilo di base



Profilo di chiusura



#### Legenda

- 1 Profilo di base
- 4 Distanziale taglio termico
- 2 Profilo di chiusura 5 Nastro EPDM
- 3 Isolante termico 6 7 8 Accessori di fissaggio
- Posizionato il pannello isolante, si fissa il profilo di chiusura (2) sigillando il tutto con isolante termico per garantire continuità nell'isolamento termico.
- Ogni modulo così ottenuto ha larghezza 1m e altezza 6m.



















#### MIL15s per il retrofit sismico di un aggregato in muratura

Res Car al limite | Res Car | All a | Cl | Cl

I profili sono realizzati in lega di alluminio AW 6060 – T6:	Lega	convenzionale elastico f <sub>0</sub>	ultima f <sub>u</sub>	rottura	instabilità	durabilità	
Le Connessioni e gli accessori di fissaggio	Al – Si – Mg	150 MPa	190 MPa	8%	А	В	

Alla base dell'edificio sono disposti e

fissati con tasselli chimici i profili ad U

che andranno ad accogliere il sistema.

Connessione Profilo ad U – sandwich: Bulloni

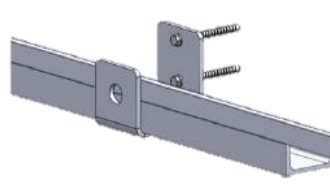
2. Connessione Profilo di base – Muratura: Tasselli chimici



Il sistema integrato: MIL15.s

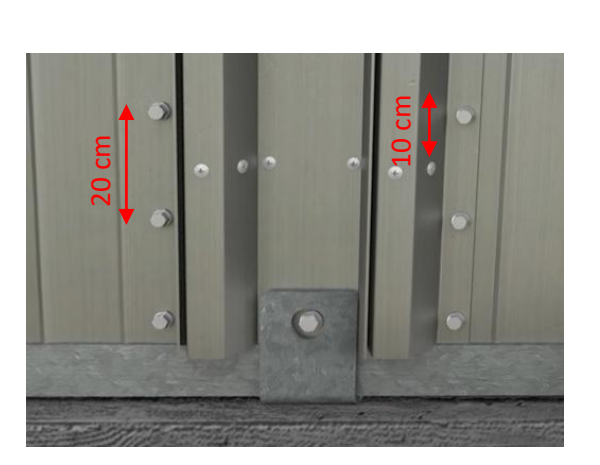


Successivamente sono posizionati i profili di base che sono alti <u>6 m</u> e vengono fissati con <u>tasselli chimici</u> in corrispondenza di ogni marcapiano. Tramite viti auto-foranti, disposte ogni 20 cm, si fissa il profilo di chiusura al pannello sandwich precedentemente inserito.



























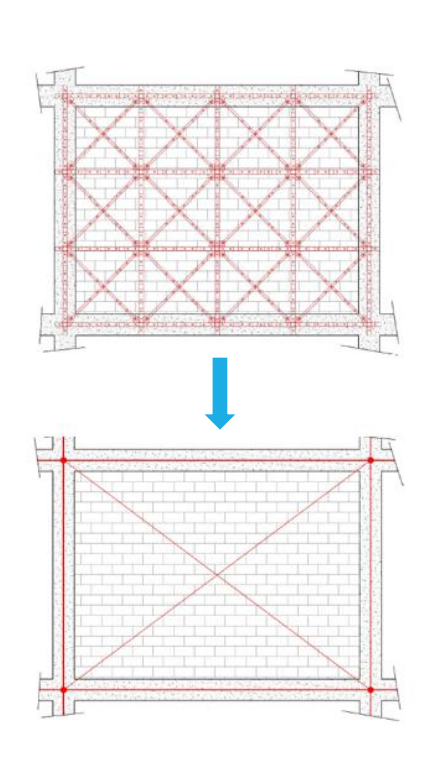


Il caso studio: Dimensionamento dell'intervento

#### MIL15s per il retrofit sismico di un aggregato in muratura

#### Step 1

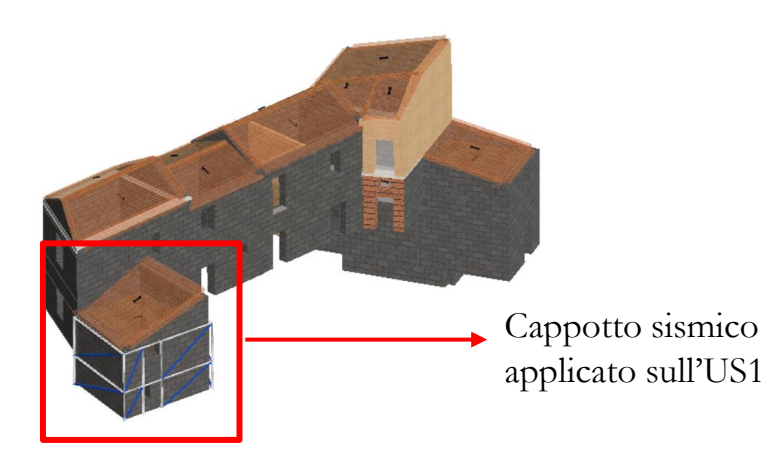
Per ogni maschio murario, è stato creato un telaio corrispondente ai profili verticali e al pannello sandwich.



#### Step 2

Il calcolo del diametro della diagonale equivalente (che rappresenta il pannello sandwich) è avvenuto considerando la rigidezza equivalente di ciascuna diagonale mediante l'Eq. (1):

$$K_{eq} = \Sigma k_i$$
 (1)



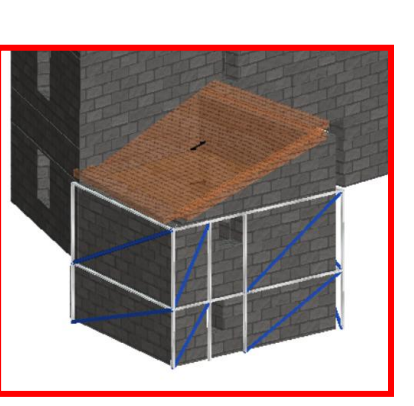
#### Step 3

Nota la rigidezza equivalente, è possibile derivare l'area con l'Eq. (2) e quindi il diametro della singola diagonale.

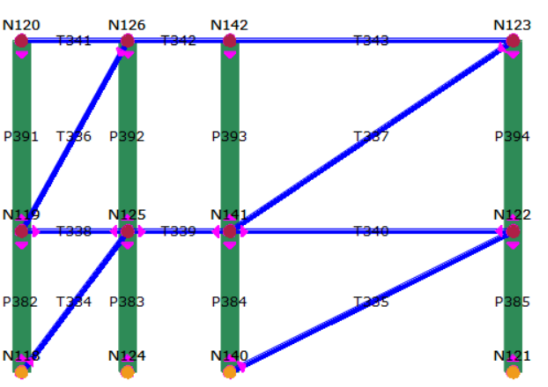
$$K_{eq} = E_p \cdot A_p / I_p \cdot \cos^2 \alpha$$
 (2)

In cui:

- • $E_p = E_s$  è il modulo elastico del materiale.
- • $I_p$  = lunghezza equivalente, uguale a b/cos $\alpha$
- • $\alpha$  = arctg h/b



Facciata principale dell'US1 con il sistema integrato sismico – energetico MIL15s



- Fiorino L., Iuorio O., Landolfo R. (2014) Designing CFS structures: The new school bfs in Naples. Thin-Walled Structures, 78: 37–47.
- Thorburn L.J., Kulak G.L.; Montgomery, C.J. (1983). Analysis of Steel Plate Sheat Walls; Structural Engineering Report No. 107; University of Alberta: Edmonton, AB, Canada.



















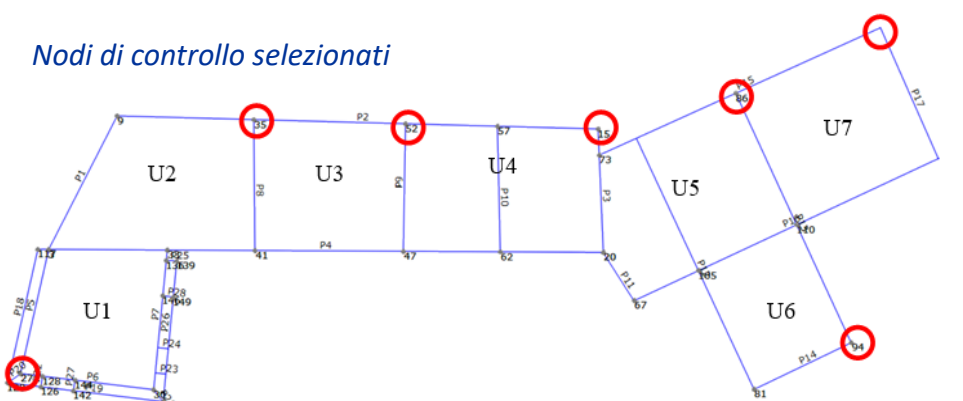


#### MIL15s per il retrofit sismico di un aggregato in muratura

#### Ripetizione delle analisi pushover sul modello con il cappotto

#### Scopo delle analisi

Per valutare gli effetti del sistema integrato MIL15.s sulle altre unità strutturali, le analisi non lineari sono state ripetute monitorando lo spostamento di un nodo di controllo che appartiene, di volta in volta, ad ognuna delle celle che compongono l'aggregato investigato.



#### Il caso studio: Valutazione della vulnerabilità sismica – <u>Dopo l'intervento</u>

#### Confronto degli indici $\alpha_{SIV}$ prima e dopo l'intervento

Unità Strutturale	Direzione	Stato Ante $\alpha_{\text{SLV}}$	Stato Post α <sub>SLV</sub>
<u>O</u> <u>1</u>	Х	0,267	0,323
	Υ	0,313	0,311
<b>O</b> 2	Х	0,581	0,643
	Υ	0,290	0,287
<b>О</b> з	Х	0,574	0,642
	Υ	0,435	0,453
O 4	Х	0,573	0,638
	Υ	0,359	0,340
O 5	Х	0,619	0,452
5	Υ	0,345	0,349
O 6	Х	0,643	0,657
	Υ	0,436	0,399
O 7	Х	0,585	0,579
<b>\rightarrow</b> /	Υ	0,479	0,532



















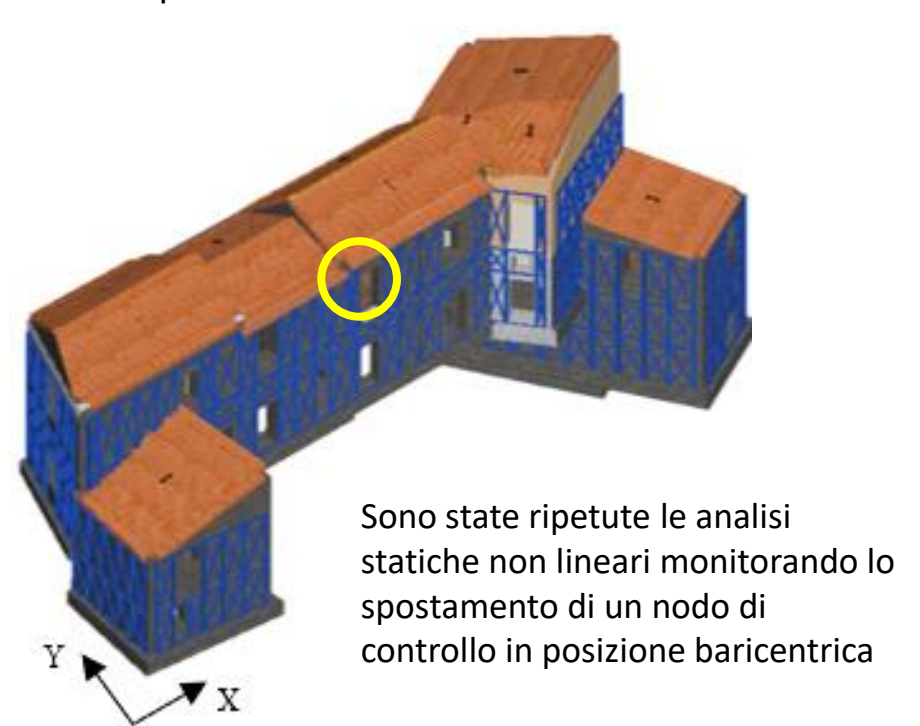


#### MIL15s per il retrofit sismico di un aggregato in muratura

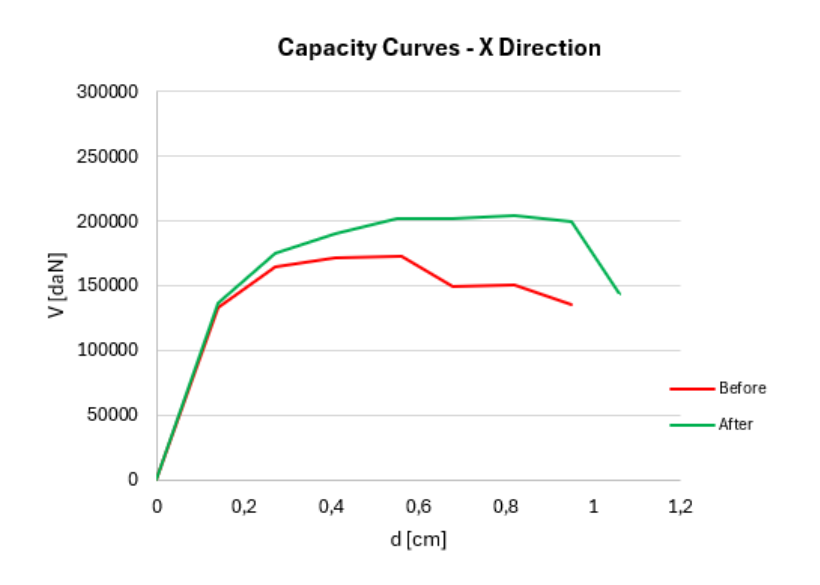
Il caso studio: Valutazione della vulnerabilità sismica – Dopo l'applicazione del sistema su tutto il complesso edilizio

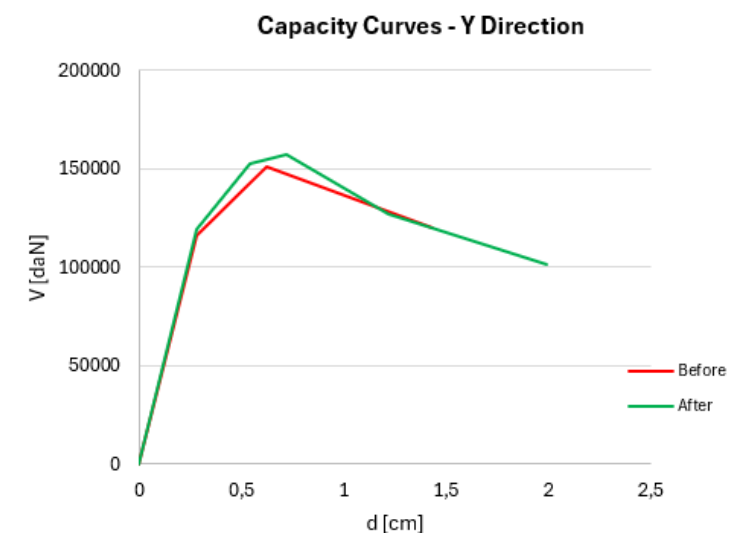
#### Vista 3D dell'aggregato

Il sistema integrato MIL15.s è stato applicato in corrispondenza di tutte le unità



Direzione	Stato Ante $\alpha_{\text{SLV}}$	Stato Post α <sub>SLV</sub>	Δ
Х	0.564	0.720	+ 0,156
Υ	0.349	0.510	+ 0,161





Le curve di capacità (Taglio alla Base vs. Spostamento in Sommità) indicano un <u>aumento</u> <u>della resistenza</u>, particolarmente evidente lungo la direzione longitudinale. In entrambi i casi, si osserva anche un <u>lieve incremento della duttilità</u>, che si traduce in spostamenti maggiori in condizioni ultime.











# GRAZIE PER LA CORTESE ATTENZIONE